

سنگ‌شناسی، ژئوشیمی و سن پرتو سنجی گنبدهای آدکیتی پرسیلیس کمان قاره‌ای نوژن، جنوب قوچان

حبیب ا. قاسمی^{*}، محمود صادقیان، علیرضا خانعلی زاده، علی تنها

شاهرود، دانشگاه صنعتی شاهرود، دانشکده علوم زمین، صندوق پستی ۳۱۶، کد پستی ۳۶۱۹۹۹۵۱۶۱

(دریافت مقاله: ۸۸/۶/۱۶، نسخه نهایی: ۸۸/۱۲/۲۳)

چکیده: گنبدهای آدکیتی پرسیلیس نوژن جنوب قوچان در درون بخش شمالی کمان آتشفشنای سنوزوئیک قوچان-اسفراین (واقع در شمال نوار افیولیتی و دگرگونی سبزوار) رخنمون یافته‌اند. در این نوار آتشفشنای، فعالیت‌های ماقمایی از ائوسن (حدود ۴۰ میلیون سال قبل) شروع شده و تا پلیو-پلیستوسن (حدود ۲ میلیون سال قبل) ادامه داشته است. سن سنگ‌های آتشفشنای این نوار از جنوب (در مجاورت نوار افیولیتی سبزوار) به سوی شمال (در جنوب قوچان) از ائوسن تا پلیو-پلیستوسن تغییر می‌کند. بخش شمالی این کمان آدکیتی پرسیلیس اساساً از واحدهای آذرآواری و گنبدهای تراکی آندزیتی، تراکیتی، داسیتی، داسیتی و ریوداسیتی به سن پلیو-پلیستوسن (۲ تا ۱۱ میلیون سال قبل) تشکیل شده است که غالباً روی یک پی سنگ الیوین بازالتی-بازالتی به سن ائوسن تا میوسن زیرین (۱۹ تا ۲۰ میلیون سال قبل) قرار گرفته است. وجود برونبوم‌هایی از سنگ‌های آتشفشنای ائوسن، برونبوم‌های گنایی، مارنی، سیلیستونی و پلیتی، ظهور و حذف برخی از فازهای کانی‌ها، خوردگی، عدم تعادل شیمیایی فنوکریستها و بافت غربالی از نشانه‌های رخداد آلایش ماقمایی در این سنگ‌ها هستند. نسبت‌های ایزوتوپی $^{87}\text{Sr}/^{86}\text{Sr}$ این سنگ‌ها نیز از ۰,۷۰۴۱ تا ۰,۷۰۵۷ متغیرند و این آلایش را تأیید می‌کنند. سنگ‌های سازنده گنبدهای نوژن از عناصر نادرخاکی سبک و عناصر لیتوفیل بزرگ یون، غنی شدگی و از عناصر خاکی نادر سنگین تهی شدگی نشان می‌دهند. بی هنجاری منفی عناصر با شدت میدان بالا گارنت آمفیبولیتی (حاصل از دگرگونی ورقه‌ی اقیانوسی فروزانده شده سبزوار به عنوان محل خاستگاه ماقما)، سرشت آدکیتی پرسیلیس (HSA) ماقما و نقش تبلور جدایشی، فرایندهای هضم و آلایش ماقمایی طی شکل‌گیری ماقمای سازنده‌ی این گنبدهای است. این ماقمای آدکیتی، آخرین مذاب‌های حاصل از ذوب بخشی ورقه‌ی اقیانوسی فروزانده شده جوان و داغ نئوتیس سبزوار و گوه گوشه‌ای روی آن است که به صورت گنبدهای آدکیتی نیمه عمیق جایگزین شده و تجلی یافته‌اند.

واژه‌های کلیدی: سنگ‌شناسی، ژئوشیمی، کمان قاره‌ای، آدکیت، قوچان.

مقدمه

از فرومد تا نیشابور ادامه داشته و در منطقه‌ی بینالود واقع شده است. همانند دیگر کمان‌های ماقمایی، بررسی این کمان نیز می‌تواند روزنه‌ای مفید به درک فرایندهای درگیر در ذوب پوسته و گوشه در مناطق فروزانش باشد. پژوهشگران مختلفی به بررسی این منطقه پرداخته‌اند [۱۰-۱]. ولی مشاهده‌ی

کمان ماقمایی قاره‌ای شمال منطقه‌ی افیولیتی سبزوار از سنگ‌های آتشفشنای با ماهیت غالباً کالکوآلکالن و به سن سنوزوئیک تشکیل شده است که به عرض ۱۰۰ تا ۱۵۰ کیلومتر از شمال سبزوار تا جنوب قوچان و طول ۲۰۰ کیلومتر

* نویسنده مسئول، تلفن نمبر: ۰۲۷۳ (۳۳۹۶۰۰۷)، پست الکترونیکی: h-ghasemi@shahroodut.ac.ir

است. بررسی‌های ژئوشیمیایی دقیق سنگ‌های آذرین در ایران در سال‌های اخیر منجر به شناسایی و گزارش این سنگ‌ها در برخی از نقاط شده است. آنالیزهای شیمیایی نمونه‌های سنگ کل این پژوهش به روش‌های ICP-AES در آزمایشگاه ژئوشیمی دانشگاه برترانی غربی کشور فرانسه و ICP-MS در آزمایشگاه ژئوشیمی کشور کانادا (جدول ۱) و آنالیزهای سال سنجی به روش K-Ar سنگ کل در آزمایشگاه ژئوشیمی دانشگاه برترانی غربی کشور فرانسه انجام شده است (جدول ۴).

ویژگی‌های آداسیتی در سنگ‌های ماقمایی نئوژن منطقه [۹]، لزوم توجه هرچه بیشتر به خاستگاه و علل رخداد ماقماتیسم در منطقه و تعیین جایگاه زمین‌ساختی رخداد آن را ضروری کرده است. آداسیت‌ها، سنگ‌های اسید- حدواست خروجی- (آندریت- داسیت- ریولیت) یا نفوذی (دیوریت- تونالیت- ترونجمیت- گرانودیوریت- گرانیت) هستند که غالباً از ذوب لیتوسفر اقیانوسی داغ جوان در مناطق فرورانش قوسی جدید (غالباً جوان‌تر از ۲۵ میلیون سال قبل) تشکیل شده‌اند. این واژه از سال ۱۹۹۰ وارد فرهنگ زمین‌شناسی و سنگ‌شناسی شده

جدول ۱ نتایج ژئوشیمی عناصر اصلی نمونه‌های منطقه‌ی مشکان.

Sample	SiO ₂	Al ₂ O ₃	FeO	Fe ₂ O ₃	FeOttotal	MgO	CaO	Na ₂ O	K ₂ O	TiO ₂	P ₂ O ₅	MnO	LOI
T 4-2	50,83	19,24	6,23	1,87	8,10	6,92	7,86	3,79	1,52	1,17	0,44	0,11	2,40
T 8-1	47,05	18,37	7,40	2,22	9,62	8,22	9,19	4,30	0,95	1,61	0,55	0,14	0,50
T 14-5	50,42	18,42	3,50	1,40	9,69	4,89	8,98	3,70	1,76	1,49	0,50	0,16	2,90
FM.3	50,70	18,05	3,24	5,71		5,80	7,50	5,00	1,25	1,10	0,65	0,15	1,10
FM.29	51,21	17,90	5,94	2,36		5,72	7,30	4,61	1,67	1,20	0,73	0,18	1,00
A 5	65,35	19,19	2,21	0,88	3,19	1,40	2,44	5,28	2,45	0,46	0,16	0,08	2,30
T 5-5	63,40	19,81	1,47	0,59	2,95	2,37	3,64	6,54	0,70	0,43	0,15	0,02	2,20
T 9-2	66,03	21,48	0,42	0,21	1,20	0,45	1,45	5,01	3,98	0,26	0,11	0,02	0,70
T 14-4	65,08	18,50	0,26	0,13	2,51	0,74	3,36	4,61	4,31	0,58	0,25	0,05	1,70
T 1-10	61,68	18,13	3,77	1,32	5,10	1,86	6,04	4,16	2,04	0,65	0,31	0,04	0,90
FM.6	60,00	16,62	2,52	2,68		1,70	5,30	4,20	1,44	0,63	0,35	0,06	1,50
T 14-1	61,33	18,26	3,19	1,12	4,31	1,94	7,77	4,12	1,36	0,59	0,26	0,06	1,00
T 6-2	59,88	18,36	2,75	1,10	5,79	3,56	4,72	4,16	2,50	0,68	0,30	0,06	2,00
T 13-3	69,41	16,77	2,12	1,06	2,06	0,69	4,08	4,45	2,15	0,23	0,11	0,04	1,50
T 2-2	64,73	19,54	7,45	2,24	4,90	0,37	3,99	3,81	1,82	0,61	0,22	0,02	0,40
T 13-8	69,91	16,79	1,64	0,66	1,95	0,69	3,71	4,50	2,07	0,23	0,10	0,04	2,40
T 12-12	67,94	17,31	1,39	0,56	2,30	0,93	4,70	4,50	1,75	0,27	0,27	0,04	1,80
T 13-4	68,82	18,75	1,39	0,56	1,95	0,64	3,32	4,19	1,97	0,23	0,10	0,03	2,90
T 5-13	65,56	17,07	1,67	0,84	3,86	2,66	4,49	4,64	1,06	0,44	0,17	0,05	0,90
FM.35	68,60	16,10	0,99	2,41		1,36	4,24	3,80	1,63	0,35	0,12	0,06	1,00
FM.10	65,80	15,90	0,27	2,23		0,80	3,50	4,40	2,01	0,26	0,15	0,06	0,20
T 10-1	66,44	18,10	0,80	0,40	3,09	1,43	4,55	4,02	1,85	0,34	0,13	0,05	2,30
T 10-5	66,80	17,58	2,16	0,87	3,03	1,35	4,67	4,17	1,92	0,34	0,12	0,05	0,90
T 7-5	73,07	16,38	4,14	1,66	0,63	0,29	0,44	5,31	3,65	0,17	0,06	0,00	1,50
A 8	70,49	19,29	1,97	0,98	0,39	0,08	0,34	5,99	2,91	0,49	0,02	0,00	2,80
FM.17	70,80	16,03	0,54	2,06		0,65	3,44	4,19	1,77	0,25	0,12	0,05	0,66

ادامه جدول ۱ نتایج آنالیز شیمیائی عناصر کمیاب و کمیاب خاکی نمونه‌های منطقه‌ی مشکان

Sample	T 4-2	T 8-1	T 14-5	FM.3	FM.29	A 5	T 5-5	T 9-2	T 14-4
Ba	۲۰۴,۰۰	۵۰۲,۰۰	۵۷۹,۰۰	۲۷۵,۰۰	۳۲۰,۰۰	۲۱۰,۰۰	۴۲۶,۰۰	۳۸۹,۰۰	۴۷۶,۰۰
Be	۲,۰۰	۱,۰۰	۱,۰۰			۱,۰۰	۱,۰۰	۱,۰۰	۱,۰۰
Co	۲۸,۲۰	۲,۳۰	۱۶,۰۰	۲۲,۰۰	۳۱,۰۰	۳۶,۳۰	۶,۵۰	۴,۷۰	۷,۰۰
Cs	۰,۷۰	۰,۸۰	۰,۲۰	۰,۷۳	۰,۷۷	۰,۷۰	۰,۷۰	۰,۹۰	۰,۵۰
Ga	۱۵,۶۰	۱۶,۶۰	۱۶,۱۰			۱۶,۶۰	۱۵,۶۰	۱۶,۸۰	۱۵,۸۰
Hf	۴,۰۰	۲,۹۰	۴,۲۰	۷,۲۰	۶,۳۰	۴,۱۰	۲,۹۰	۲,۶۰	۳,۲۰
Nb	۲۰,۰۰	۸,۲۰	۲۲,۱۰	۲۶,۰۰	۲۲,۰۰	۲۲,۲۰	۱۰,۰۰	۸,۹۰	۲۴,۴۰
Rb	۲۶,۹۰	۴۳,۵۰	۵۷,۶۰	۴۰,۰۰	۳۷,۰۰	۱۳,۵۰	۴۳,۵۰	۳۷,۶۰	۶۶,۴۰
Sn	۱,۰۰	۱,۰۰	۱,۰۰			۲,۰۰	۱,۰۰	۱,۰۰	۱,۰۰
Sr	۵۷۰,۰۰	۴۸۸,۰۰	۴۶۲,۰۰	۸۲۰,۰۰	۸۵۰,۰۰	۶۶۳,۹۰	۵۱۶,۳۰	۵۶۳,۸۰	۳۶۴,۱۰
Ta	۱,۲۰	۰,۶۰	۱,۴۰	۰,۸۱	۰,۸۷	۱,۲۰	۰,۹۰	۰,۵۰	۲,۵۰
Th	۳,۹۰	۴,۵۰	۹,۳۰	۳,۵۰	۳,۶۰	۲,۷۰	۷,۰۰	۴,۷۰	۱۲,۸۰
U	۱,۰۰	۱,۶۰	۲,۰۰			۶,۰۰	۱,۹۰	۱,۴۰	۳,۷۰
V	۱۴۲,۰۰	۱۸,۰۰	۹۸,۰۰	۱۵۰,۰۰	۱۲۵,۰۰	۱۹۴,۰۰	۴۱,۰۰	۲۱,۰۰	۴۴,۰۰
W	۰,۵۰	۰,۵۰	۱,۰۰			۰,۵۰	۰,۷۰	۰,۵۰	۱,۲۰
Zr	۱۷۱,۸۰	۹۸,۱۰	۱۶۸,۸۰	۱۳۷,۰۰	۱۲۰,۰۰	۱۸۱,۷۰	۹۹,۵۰	۹۳,۵۰	۱۱۱,۴۰
Y	۲۱,۲۰	۸,۰۰	۱۶,۱۰	۲۲,۰۰	۲۴,۰۰	۲۲,۷۰	۷,۲۰	۱۸,۶۰	۱۱,۸۰
La	۲۲,۸۰	۱۹,۴۰	۳۶,۰۰	۳۲,۰۰	۳۲,۰۰	۲۴,۹۰	۱۹,۳۰	۳۸,۱۰	۳۸,۹۰
Ce	۴۸,۹۰	۳۶,۱۰	۵۹,۶۰	۶۱,۰۰	۵۵,۰۰	۵۴,۷۰	۳۱,۵۰	۷۹,۱۰	۴۸,۳۰
Pr	۵,۶۰	۲,۶۳	۶,۱۹			۶,۷۸	۳,۴۳	۸,۹۰	۰,۵۰
Nd	۲۰,۵۰	۱۲,۶۰	۲۰,۸۰	۲۵,۰۰	۲۷,۰۰	۲۶,۴۰	۱۱,۵۰	۳۱,۶۰	۱۶,۹۰
Sm	۴,۰۸	۲,۰۰	۳,۵۰	۵,۰۰	۵,۰۰	۵,۳۲	۱,۹۳	۴,۷۴	۲,۶۷
Eu	۱,۳۷	۰,۶۰	۱,۰۳	۱,۶۳	۱,۶۲	۱,۷۱	۰,۶۰	۰,۷۹	۰,۷۲
Gd	۳,۹۸	۱,۸۲	۳,۰۷	۴,۵۰	۴,۰۰	۵,۰۵	۱,۶۷	۴,۴۲	۲,۳۸
Tb	۰,۶۶	۰,۲۶	۰,۵۲	۰,۵۶	۰,۴۳	۰,۷۸	۰,۲۵	۰,۶۱	۰,۳۶
Dy	۳,۷۶	۱,۳۷	۲,۶۹	۳,۹۰	۴,۰۰	۴,۳۲	۱,۲۹	۳,۳۸	۲,۰۱
Ho	۰,۷۶	۰,۲۶	۰,۵۵			۰,۸۲	۰,۲۷	۰,۶۲	۰,۴۰
Er	۲,۱۰	۰,۶۹	۱,۵۲	۲,۳۰	۲,۳۰	۲,۱۹	۰,۷۲	۱,۶۷	۱,۱۳
Tm	۰,۳۴	۰,۱۱	۰,۲۸			۰,۳۵	۰,۱۳	۰,۲۵	۰,۲۰
Yb	۲,۰۰	۰,۶۵	۱,۵۲	۲,۲۰	۲,۰۰	۲,۰۷	۰,۷۲	۱,۳۹	۱,۳۱
Lu	۰,۳۲	۰,۱۱	۰,۲۶			۰,۳۰	۰,۱۲	۰,۱۹	۰,۲۰
C/TOT	۰,۰۴	۰,۰۴	۰,۰۸			۰,۰۲	۰,۱۰	۰,۰۷	۰,۱۰
S/TOT	<۰,۰۲	۰,۰۲	۰,۰۲			۰,۰۲	۰,۰۲	۰,۰۲	۰,۰۲
Mo	۱,۷۰	۰,۱۰	۰,۳۰			۰,۴۰	۱,۲۰	۰,۱۰	۱,۰۰
Cu	۵,۲۰	۴,۱۰	۱۹,۴۰			۴۴,۳۰	۲۲,۵۰	۶,۰۰	۸,۶۰
Pb	۱,۳۰	۰,۶۰	۱,۰۰			۰,۷۰	۰,۴۰	۰,۸۰	۱۶,۷۰
Zn	۴۳,۰۰	۸,۰۰	۴۱,۰۰			۴۲,۰۰	۲۶,۰۰	۸,۰۰	۳۹,۰۰
Ni	۷۵,۹۰	۰,۹۰	۲۱,۹۰	۳۲۵,۰۰	۲۵۰,۰۰	۶۶,۴۰	۷,۷۰	۱,۶۰	۸,۰۰
As	۲,۰۰	۰,۵۰	۲,۶۰			۰,۶۰	۰,۵۰	۱,۸۰	۰,۵۰
Cd	۰,۱۰	۰,۱۰	۰,۱۰			۰,۱۰	۰,۱۰	۰,۱۰	۰,۱۰
Sb	۰,۱۰	۰,۱۰	۰,۱۰			۰,۱۰	۰,۱۰	۰,۱۰	۰,۱۰
Bi	۰,۱۰	۰,۱۰	۰,۱۰			۰,۱۰	۰,۱۰	۰,۱۰	۰,۱۰
Ag	۰,۱۰	۰,۱۰	۰,۱۰			۰,۱۰	۰,۱۰	۰,۱۰	۰,۱۰
Au	۱,۶۰	۱,۹۰	۱,۵۰			۰,۸۰	۰,۵۰	۱,۴۰	۰,۵۰
Hg	۰,۰۱	۰,۰۱	۰,۰۱			۰,۰۱	۰,۰۱	۰,۰۱	۰,۰۱
Tl	۰,۱۰	۰,۱۰	۰,۱۰			۰,۱۰	۰,۱۰	۰,۱۰	۰,۱۰
Se	۰,۵۰	۰,۵۰	۰,۵۰			۰,۵۰	۰,۵۰	۰,۵۰	۰,۵۰

دادمه جدول ۱

Sample	T 1-10	FM.6	T 14-1	T 6-2	T 13-3	T 2-2	T 13-8	T 12-12	T 13-4
Ba	۴۹۳,۰۰	۴۱۰,۰۰	۶۸۹,۰۰	۴۶۰,۰۰	۴۰۹,۰۰	۴۸۹,۰۰	۳۲۲,۰۰	۴۳۹,۰۰	۱۷۷۶,۰۰
Be	۱,۰۰		۱,۰۰	۱,۰۰	۱,۰۰	۲,۰۰	۱,۰۰	۱,۰۰	۲,۰۰
Co	۲,۱۰	۱۵,۰۰	۰,۳۰	۱۲,۹۰	۷,۰۰	۰,۴۰	۹,۱۰	۹,۵۰	۲۹,۵۰
Cs	۰,۶۰	۰,۹۸	۰,۴۰	۱,۶۰	۰,۷۰	۰,۷۰	۰,۷۰	۰,۹۰	۰,۳۰
Ga	۱۶,۰۰		۱۵,۰۰	۱۶,۱۰	۱۶,۳۰	۱۴,۲۰	۱۴,۶۰	۱۶,۴۰	۱۷,۷۰
Hf	۲,۰۰	۶,۴۰	۳,۵۰	۴,۳۰	۲,۹۰	۴,۱۰	۳,۷۰	۴,۵۰	۴,۴۰
Nb	۷,۰۰	۱۵,۰۰	۲۵,۶۰	۲۰,۹۰	۱۰,۶۰	۲۷,۹۰	۱۴,۴۰	۲۲,۲۰	۳۰,۵۰
Rb	۳۹,۳۰	۳۸,۰۰	۶۵,۶۰	۴۶,۳۰	۴۴,۸۰	۸۱,۴۰	۳۲,۴۰	۴۴,۹۰	۳۵,۹۰
Sn	۱,۰۰		۱,۰۰	۱,۰۰	۱,۰۰	۴,۰۰	۱,۰۰	۱,۰۰	۱,۰۰
Sr	۴۴۲,۶۰	۴۴۰,۰۰	۲۰,۵,۳۰	۵۶۳,۷۰	۵۰,۷,۸۰	۱۳۰,۵۰	۵۱۲,۲۰	۴۶۹,۴۰	۷۵۶,۱۰
Ta	۰,۵۰	۰,۷۲	۲,۴۰	۱,۳۰	۰,۹۰	۲,۳۰	۱,۱۰	۱,۵۰	۱,۷۰
Th	۴,۹۰	۱۱,۰۰	۷,۱۰	۹,۵۰	۷,۰۰	۲۳,۹۰	۱۰,۳۰	۱۱,۱۰	۳,۸۰
U	۱,۴۰		۳,۸۰	۲,۱۰	۲,۱۰	۲,۸۰	۲,۶۰	۲,۰۰	۱,۲۰
V	۱۹,۰۰	۸۵,۰۰	۲۷,۰۰	۸۲,۰۰	۴۵,۰۰	۸,۰۰	۶۱,۰۰	۶۱,۰۰	۱۹۹,۰۰
W	۰,۵۰		۱,۰۰	۱,۸۰	۰,۷۰	۱,۷۰	۰,۸۰	۱,۱۰	۰,۶۰
Zr	۱۰,۵,۷۰	۱۲۱,۰۰	۱۲۱,۱۰	۱۶۹,۱۰	۱۰,۴,۰۰	۱۴۰,۷۰	۱۳۲,۱۰	۱۷۰,۹۰	۱۶۴,۲۰
Y	۵,۸۰	۱۶,۰۰	۵,۲۰	۱۴,۹۰	۸,۱۰	۱۵,۶۰	۱۳,۳۰	۱۴,۲۰	۲۲,۰۰
La	۱۸,۱۰	۲۸,۰۰	۱۵,۲۰	۳۲,۶۰	۱۹,۳۰	۲۵,۳۰	۲۶,۰۰	۲۷,۵۰	۲۸,۵۰
Ce	۳۱,۵۰	۴۹,۰۰	۲۳,۹۰	۵۷,۱۰	۳۳,۶۰	۴۶,۵۰	۴۴,۱۰	۴۹,۵۰	۵۶,۷۰
Pr	۲,۳۱		۲,۳۵	۶,۱۲	۳,۶۴	۵,۱۴	۴,۷۲	۵,۴۴	۶,۷۲
Nd	۱۱,۴۰	۱۸,۰۰	۷,۶۰	۲۱,۶۰	۱۲,۹۰	۱۷,۴۰	۱۶,۳۰	۲۰,۱۰	۲۵,۸۰
Sm	۱,۸۵	۳,۲۰	۱,۰۸	۳,۶۳	۲,۱۵	۳,۱۰	۲,۷۹	۳,۳۷	۴,۸۱
Eu	۰,۵۲	۱,۰۰	۰,۳۹	۱,۰۳	۰,۶۳	۰,۵۲	۰,۷۶	۰,۹۵	۱,۶۰
Gd	۱,۵۰	۲,۲۰	۰,۸۳	۲,۱۹	۱,۸۴	۲,۶۳	۲,۶۲	۳,۲۷	۴,۸۳
Tb	۰,۲۰	۰,۷۲	۰,۱۴	۰,۴۹	۰,۲۷	۰,۴۸	۰,۴۰	۰,۵۰	۰,۷۶
Dy	۱,۰۴	۲,۸۰	۰,۸۱	۲,۷۳	۱,۴۲	۲,۷۸	۲,۲۳	۲,۷۰	۴,۲۰
Ho	۰,۱۹		۰,۱۹	۰,۵۳	۰,۲۸	۰,۵۳	۰,۴۷	۰,۵۲	۰,۸۳
Er	۰,۵۲	۱,۶۰	۰,۸۱	۱,۵۲	۰,۷۹	۱,۴۵	۱,۲۸	۱,۴۲	۲,۳۱
Tm	۰,۰۸		۰,۱۲	۰,۲۵	۰,۱۲	۰,۲۴	۰,۲۱	۰,۲۳	۰,۳۴
Yb	۰,۵۲	۰,۴۲	۰,۸۷	۱,۵۴	۰,۷۷	۱,۵۴	۱,۳۹	۱,۳۷	۲,۱۵
Lu	۰,۰۸		۰,۱۶	۰,۲۳	۰,۱۲	۰,۲۲	۰,۲۲	۰,۲۱	۰,۳۳
C/TOT	۰,۰۴		۰,۰۲	۰,۰۶	۰,۰۲	۰,۰۴	۰,۰۱	۰,۰۲	۰,۱۱
S/TOT	۰,۱۲		۰,۰۲	۰,۰۲	۰,۰۲	۰,۰۲	۰,۰۲	۰,۰۲	۰,۰۳
Mo	۰,۰۳		۰,۳۰	۱,۷۰	۱,۲۰	۰,۳۰	۰,۲۰	۰,۱۰	۲,۱۰
Cu	۹,۵۰		۰,۸۰	۱۲,۰۰	۲۰,۳۰	۱,۲۰	۳,۳۰	۱۱,۳۰	۲۸,۳۰
Pb	۰,۹۰		۱,۰۰	۴,۸۰	۰,۷۰	۲,۸۰	۵,۳۰	۴,۲۰	۱,۶۰
Zn	۵,۰۰		۴,۰۰	۳۳,۰۰	۲۵,۰۰	۴۸,۰۰	۲۹,۰۰	۲۲,۰۰	۶۴,۰۰
Ni	۱,۳۰	۲۴۵,۰۰	۰,۵۰	۱۹,۱۰	۷,۱۰	۰,۵۰	۱۶,۷۰	۲۴,۴۰	۴۶,۹۰
As	۰,۶۰		۰,۶۰	۱,۰,۸۰	۰,۵۰	۰,۶۰	۲,۳۰	۱,۵۰	۱,۹۰
Cd	۰,۱۰		۰,۱۰	۰,۱۰	۰,۱۰	۰,۱۰	۰,۱۰	۰,۱۰	۰,۱۰
Sb	۰,۱۰		۰,۱۰	۰,۱۰	۰,۱۰	۰,۱۰	۰,۱۰	۰,۱۰	۰,۱۰
Bi	۰,۱۰		۰,۱۰	۰,۱۰	۰,۱۰	۰,۱۰	۰,۱۰	۰,۱۰	۰,۱۰
Ag	۰,۱۰		۰,۱۰	۰,۱۰	۰,۱۰	۰,۱۰	۰,۱۰	۰,۱۰	۰,۱۰
Au	۱۴,۵۰		۱۶۰	۰,۵۰	۱,۹۰	۶,۴۰	۰,۵۰	۰,۵۰	۰,۵۰
Hg	۰,۰۱		۰,۰۱	۰,۰۱	۰,۰۱	۰,۰۱	۰,۰۱	۰,۰۱	۰,۰۱
Tl	۰,۰۱		۰,۰۱	۰,۰۱	۰,۰۱	۰,۰۱	۰,۰۱	۰,۰۱	۰,۰۱
Se	۰,۰۰		۰,۰۰	۰,۰۰	۰,۰۰	۰,۰۰	۰,۰۰	۰,۰۰	۰,۰۰

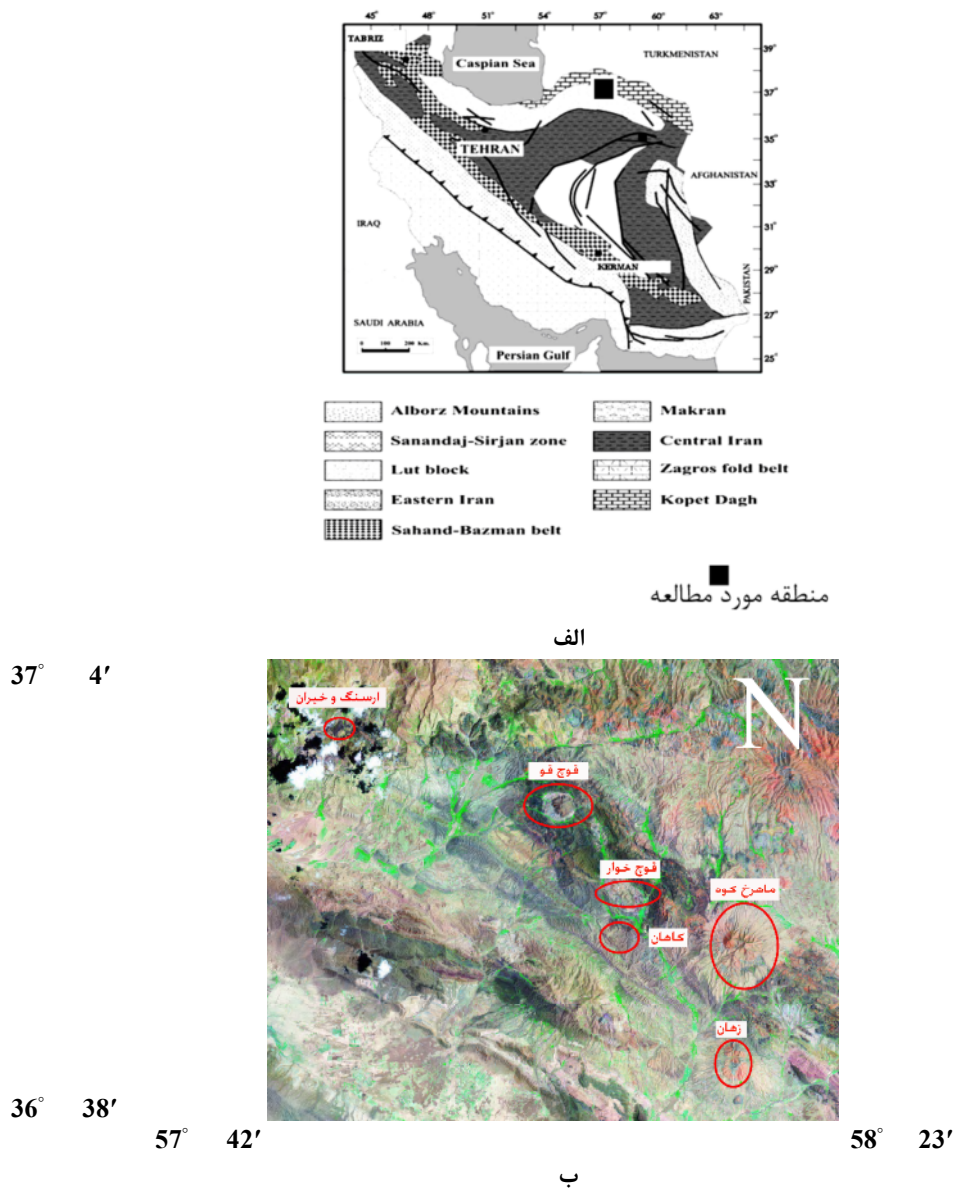
ادامه جدول ۱

Sample	T 5-13	FM.35	FM.10	T 10-1	T 10-5	T 7-5	A 8	FM.17
Ba	۴۹۱,۰۰	۴۳۰,۰۰	۴۶۰,۰۰	۵۶۹,۰۰	۶۷۲,۰۰	۲۵۸,۰۰	۱۱۷۵,۰۰	۴۹۰,۰۰
Be	۱,۰۰			۱,۰۰	۲,۰۰	۱,۰۰	۳,۰۰	
Co	۳,۶۰	۸,۰۰	۷,۰۰	۱۰,۹۰	۱,۸۰	۴,۰۰	۷,۵۰	۵,۰۰
Cs	۱,۰۰	۰,۶۷	۰,۷۶	۰,۹۰	۰,۴۰	۰,۲۰	۱,۸۰	۰,۱۰
Ga	۱۵,۹۰			۱۷,۳۰	۱۴,۵۰	۱۵,۰۰	۱۹,۱۰	
Hf	۲,۹۰	۵,۹۰	۷,۰۰	۲,۴۰	۴,۰۰	۳,۶۰	۶,۹۰	۶,۹۰
Nb	۸,۱۰	۷,۰۰	۹,۰۰	۱۶,۰۰	۲۶,۴۰	۱۴,۶۰	۸۱,۴۰	۷,۵۰
Rb	۴۴,۷۰	۴۱,۰۰	۴۳,۰۰	۳۱,۸۰	۵۸,۷۰	۱۶,۹۰	۱۲۷,۷۰	۴۷,۰۰
Sn	۱,۰۰			۱,۰۰	۱,۰۰	۱,۰۰	۲,۰۰	
Sr	۴۷۰,۲۰	۵۰۰,۰۰	۴۵۸,۰۰	۷۱,۰۰	۲۷۰,۲۰	۴۸۹,۸۰	۷۵۹,۷۰	۴۵۵,۰۰
Ta	۰,۶	۰,۹۱	۰,۷۸	۱,۱۰	۲,۳۰	۱,۱۰	۵,۶۰	۰,۶۸
Th	۵,۱۰	۵,۰۰	۴,۸۰	۷,۹۰	۱۸,۳۰	۱۰,۰۰	۳۳,۷۰	۵,۰۰
U	۱,۶۰			۱,۶۰	۲,۸۰	۲,۵۰	۳,۹۰	
V	۲۱,۰۰	۲۱,۰۰	۲۵,۰۰	۶۸,۰۰	۱۴,۰۰	۶,۰۰	۳۳,۰۰	۲۹,۰۰
W	۰,۵۰			۰,۸۰	۰,۹۰	۰,۵۰	۲,۲۰	
Zr	۹۵,۰۰	۱۳۲,۰۰	۱۳۸,۰۰	۱۲۶۶,۰	۱۴۷,۰۰	۱۳۴۴,۰	۲۸۴۸,۰	۱۴۰,۰۰
Y	۷,۵۰	۶,۵۰	۵,۰۰	۹,۴۰	۹,۸۰	۱۲,۴۰	۱۲,۳۰	۶,۰۰
La	۱۷,۹۰	۱۸,۰۰	۱۷,۰۰	۳۰,۲۰	۲۲,۱۰	۲۱,۰۰	۷۴,۶۰	۲۰,۰۰
Ce	۳۱,۷۰	۳۴,۰۰	۳۰,۰۰	۵۲,۸۰	۳۵,۵۰	۴۱,۴۰	۱۲۲,۰۰	۳۳,۰۰
Pr	۳,۳۷			۰,۵۴	۳,۴۲	۴,۵۲	۱۱,۳۳	
Nd	۱۱,۵۰	۱۱,۵۰	۱۰,۳۰	۱۸,۵۰	۱۱,۰۰	۱۵,۶۰	۳۳,۷۰	۱۲,۰۰
Sm	۱,۹۵	۲,۲۰	۱,۸۵	۲,۹۱	۱,۷۶	۲,۵۲	۴,۳۸	۲,۰۰
Eu	۰,۵۳	۰,۶۴	۰,۵۵	۰,۹۶	۰,۸۰	۰,۶۸	۱,۳۰	۰,۷۰
Gd	۱,۶۹	۱,۸۵	۱,۲۰	۲,۵۴	۱,۶۱	۲,۵۰	۳,۴۳	۱,۵۰
Tb	۰,۲۴	۰,۴۸	۰,۵۴	۰,۳۶	۰,۲۷	۰,۳۹	۰,۴۴	۰,۶۱
Dy	۱,۲۷	۱,۳۰	۰,۹۰	۱,۷۹	۱,۵۶	۲,۳۰	۲,۵۱	۱,۰۰
Ho	۰,۲۴			۰,۳۴	۰,۳۲	۰,۴۷	۰,۴۵	
Er	۰,۶۶	۰,۷۰	۰,۵۰	۰,۹۲	۰,۹۸	۱,۳۱	۱,۲۷	۰,۴۶
Tm	۰,۱۱			۰,۱۴	۰,۱۵	۰,۲۱	۰,۲۱	
Yb	۰,۶۴	۰,۴۶	۰,۳۷	۰,۸۸	۱,۱۱	۱,۳۵	۱,۳۹	۰,۳۵
Lu	۰,۱۰			۰,۱۴	۰,۱۹	۰,۲۱	۰,۲۲	
C/TOT	۰,۱۴			۰,۴۹	۰,۰۹	۰,۰۸	۰,۲۴	
S/TOT	۰,۰۲			۰,۰۲	۰,۰۲	۰,۰۲	۰,۰۲	
Mo	۰,۳۰			۰,۶۰	۰,۱۰	۰,۱۰	۱,۳۰	
Cu	۶,۱۰			۱۳,۴۰	۲,۹۰	۱,۴۰	۴,۰۰	
Pb	۰,۶۰			۱,۴۰	۲,۱۰	۰,۷۰	۱۵,۱۰	
Zn	۶,۰۰			۱۱,۰۰	۱۱,۰۰	۶,۰۰	۳۷,۰۰	
Ni	۱,۳۰	۱۴۱,۰۰	۱۵۰,۰۰	۷,۳۰	۱,۶۰	۲۰,۸۰	۳,۲۰	۱۸۰,۰۰
As	۰,۵۰			۱,۰۰	۰,۵۰	۲,۷۰	۱,۷۰	
Cd	۰,۱۰			۰,۱۰	۰,۱۰	۰,۱۰	۰,۱۰	
Sb	۰,۱۰			۰,۱۰	۰,۲۰	۰,۱۰	۰,۱۰	
Bi	۰,۱۰			۰,۱۰	۰,۱۰	۰,۱۰	۰,۱۰	
Ag	۰,۱۰			۰,۱۰	۰,۱۰	۰,۱۰	۰,۱۰	
Au	۰,۵۰			۱,۴۰	۳,۷۰	۱,۸۰	۱,۲۰	
Hg	۰,۰۱			۰,۰۱	۰,۰۱	۰,۰۱	۰,۰۱	
Tl	۰,۰۱			۰,۰۱	۰,۰۲	۰,۰۱	۰,۰۱	
Se	۰,۵۰			۰,۰۵	۰,۰۵	۰,۰۵	۰,۰۵	

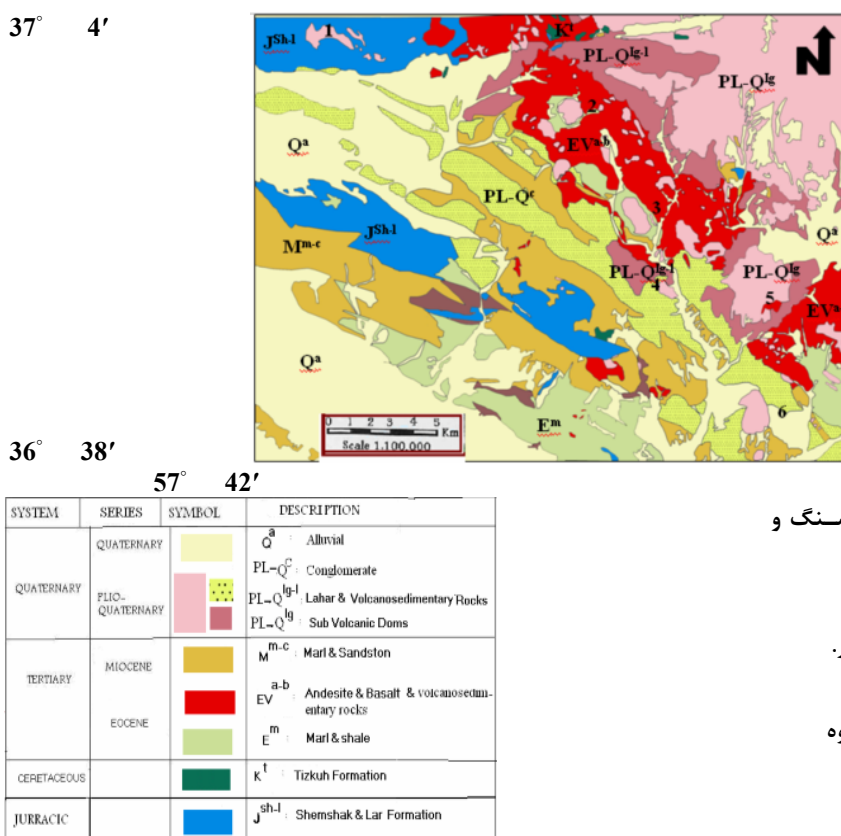
بحث

الف- زمین‌شناسی منطقه

پژوهشگران مختلف [۱۱، ۲] این منطقه را جزئی از زون بینالود و دنباله‌ی شرقی رشته کوه‌های البرز دانسته‌اند (شکل ۱). ماقماتیسم آدکیتی نفوذ منطقه در داخل سنجه‌های آتشفشنایی و آذرآواری ائوسن و گدازه‌های الیوین بازالتی میوسن زیرین (به سن ۲۰ تا ۱۹ میلیون سال قبل) رخ داده است (شکل ۲). البته در گزارش‌ها و نقشه‌های زمین‌شناسی منطقه، گدازه‌های الیوین بازالتی میوسن زیرین نیز به ائوسن نسبت داده شده‌اند، ولی بررسی‌های صحراپی و سن سنجی‌های پرتو

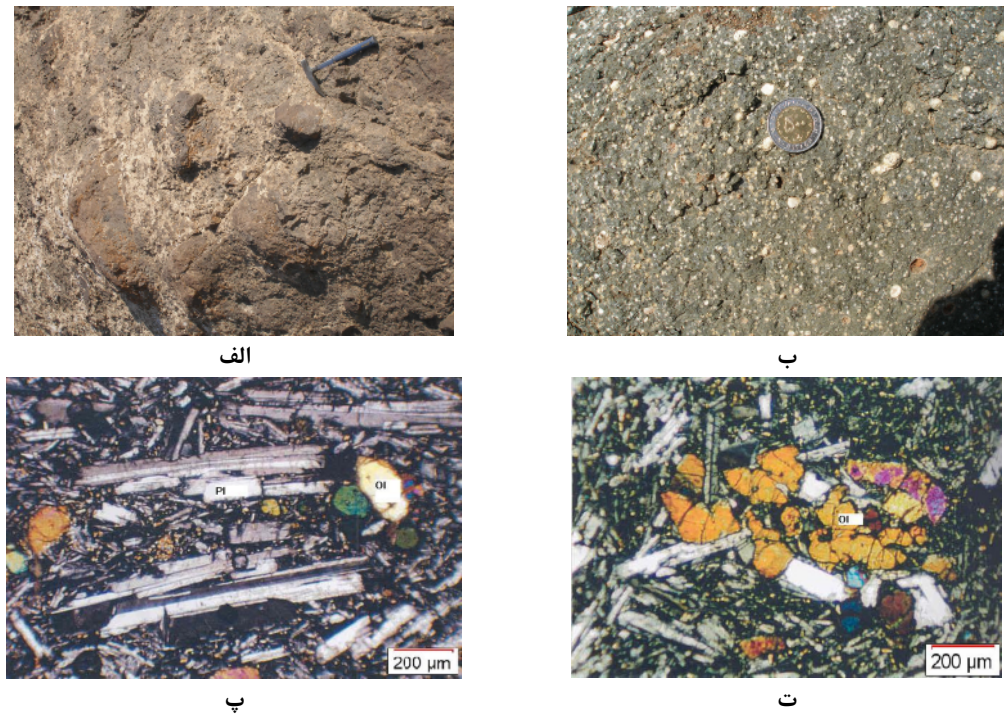


شکل ۱ الف- موقعیت جغرافیایی و زمین‌شناسی منطقه‌ی مشکان در تقسیم‌بندی واحدهای ساختاری ایران زمین [۱۱]. ب- تصویر ماهواره‌ای منطقه مشکان.



شکل ۲ نقشه‌ی زمین‌شناسی اصلاح شده واحدهای سنگی منطقه مشکان [۱۰].

- ۱: گنبدی‌های ساب ولکانیک ارسنگ و خبران
- ۲: گنبد ساب ولکانیک قوچ قو
- ۳: گنبد ساب ولکانیک قوچ خوار.
- ۴: گنبد ساب ولکانیک کاهان.
- ۵: گنبد ساب ولکانیک ماهرخ کوه
- ۶: گنبد ساب ولکانیک زهان.



شکل ۳ تصاویر صحرایی و میکروسکوپی الیوین بازالت‌های میوسن زیرین. الف- واحد آگلومراتی زیرین به سن میوسن زیرین. ب- ساخت بادامکی در گدازه اسپیلیتی شده میوسن زیرین، بادامکها با کلسیت پر شده اند. پ- بافت پورفیری جریانی متتشکل از پلازیوکلازهای کشیده و الیوین‌های گرد در الیوین بازالت‌های میوسن زیرین (در نور قطبیده متقاطع). ت- ساختار اسکلتی الیوین در الیوین بازالت‌های میوسن زیرین (در نور قطبیده متقاطع).

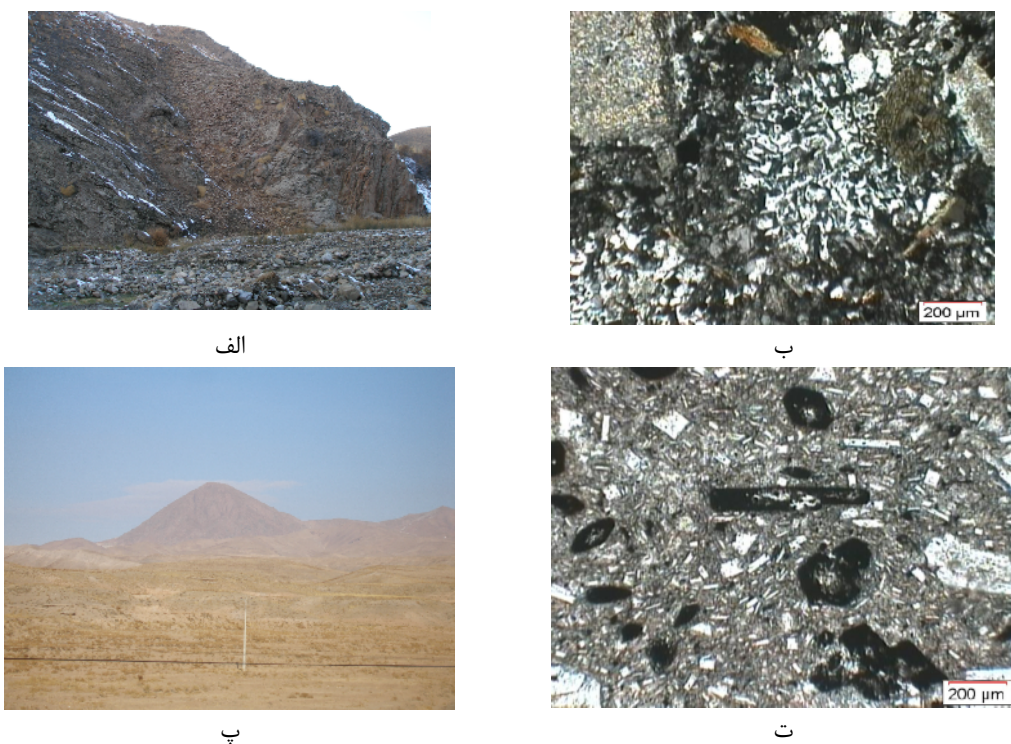
شامل قوج قو، قوج خوار، کاهان، ماهرخ کوه و زهان که اساساً ترکیب تراکی آندزیتی، داسیتی، ریوداسیتی و ریولیتی دارند در واحدهای اوسن تا پلیوسن نفوذ کرده‌اند (شکل ۴-پ). ماهرخ کوه که بزرگترین آن‌هاست، در کناره‌ها از سنگ‌های تراکی آندزیتی و تراکیتی و در مرکز از داسیت، ریوداسیت و ریولیت تشکیل شده است. ردیف شدگی بلورهای سوزنی شکل سوخته هورنبلند، پلاژیوکلاز و سانیدین، ظاهری کاملاً جریانی به سنگ‌ها داده است (شکل ۴-ت). در این گنبدها، برونوومهای مختلف بازالتی، مونزونیتی، سیلتسنونی، مارنی، پلیتی، شیستی و حتی گنایسی و بیشتر با حاشیه‌های ذوب شده شیشه‌ای در اندازه‌های مختلف دیده می‌شوند (شکل ۵ الف تا ت). اندازه‌ی این برونوومها در مagmaهای اسیدی کم دما درشت‌تر از مagmaهای آندزیتی پردماتر هستند [۶].

بافت‌های میکروسکوپی گنبدها از هیالومیکروولیتی پورفیری و هیالومیکروولیتی پورفیری جریانی تا تراکیتی، میکروولیتی پورفیری و حتی فلسفیتی پورفیری متغیر است. کانی‌های اولیه و اصلی تشکیل‌دهنده‌ی آن‌ها بسته به ترکیب سنگ، شامل پلاژیوکلاز، هورنبلند، بیوتیت، کلینوپیروکسن اوژیتی، فلدسپات قلیایی (سانیدین) و کوارتز و کانی‌های ثانویه نیز شامل کلریت، کلسیت، کانی‌های تیره و گاهی اپیدوت هستند. بلورهای خودشکل تا نیمه‌خودشکل پلاژیوکلاز مهمترین درشت بلورهای این سنگ‌ها را تشکیل می‌دهند. خوردگی‌های خلیج منند، بافت‌های غربالی و اسکلتی، برهمرشدی‌ها و ساختار منطقه‌ای پلاژیوکلازها، فلدسپات قلیایی و کوارتز از مهم‌ترین ویژگی‌های میکروسکوپی این سنگ‌هاست. این ویژگی‌ها ممکن است ناشی از تغییر ترکیب magmaهای در حال تبلور در اثر ورود magmaهای تازه به درون مخزن، تغییر ترکیب magma در اثر آلایش و هضم مواد خارجی (سنگ‌های میزبان)، کاهش فشار حاکم بر magma در اثر بالا آمدن آن، افزایش فشار بخار آب در اثر صعود magma و جدایش آب محلول در آن به صورت یک فاز مجزا، افزایش دمای magma در نتیجه ورود یک magmaهای داغ‌تر به درون مخزن و یا افزایش دمای آن در اثر خروج magma، اکسایش و شعله ورشندن آن باشد. شواهد رخداد تمامی این فرایندها باشد و ضعف مختلف در خلال تشکیل سنگ‌های آذرین منطقه به فراوانی وجود دارند [۵، ۶، ۸، ۹].

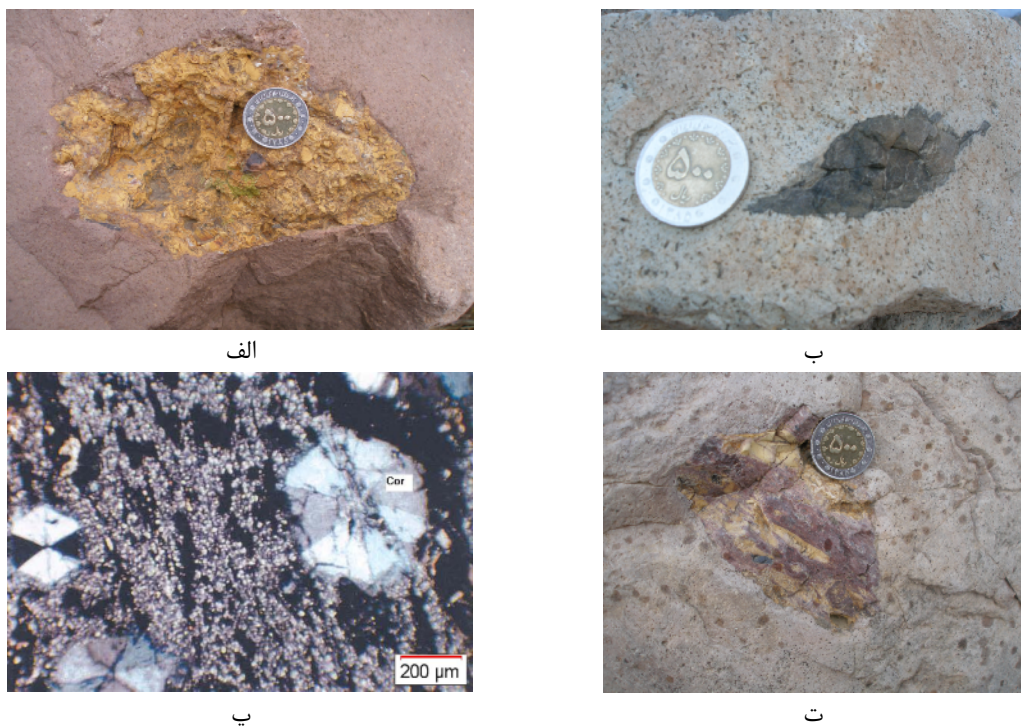
کانی‌های اصلی آن‌ها را الیوین، پلاژیوکلاز و کلینوپیروکسن اوژیتی تشکیل می‌دهند. کانی‌های ثانویه آن‌ها نیز شامل ایدنگسیت، بولنژیت، کلریت و کلسیت است. الیوین‌ها غالباً گرد بوده، دارای حاشیه‌های کم و بیش خورده شده و گاهی با ساختار اسکلتی هستند (شکل ۳-ت). بروز حالت خوردگی در بلورهای الیوین سنگ‌های آتشفسانی می‌تواند ناشی از حضور حباب‌های گاز در مجاورت سطح بلور و حرکت تلاطمی آبگون^۱ در پیرامون آن [۱۲]، واکنش بلورهای الیوین با مذاب جدایشی پرسیلیس اطراف و نیز هضم برونوومهای گنایسی، سیلتسنونی و پلیتی و آلایش مذاب بازالتی اولیه با مذاب حاصل از آن‌ها باشد. حضور این برونوومها در سنگ‌های منطقه فرضیه‌ی هضم و آلایش مagmaهای را تأیید می‌کند [۶].

روی الیوین بازالت‌ها و با مرز نامشخص، واحدهای آذرآواری پلیو-پلیستوسن شامل تناوب لایه‌های آگلومرایی، لاپیلی‌ستون، لاپیلی‌توف، توف و خاکسترهای تراکیتی-تراکی آندزیتی جوش خوردگه جریانی (ایگنیمبریت) قرار می‌گیرند. توف‌های جوش خوردگی جریانی دارای رنگ‌های مختلف و ترکیب تراکیتی تا تراکی آندزیتی هستند. ظاهر لایه لایه و جریانی و بافت هیالوپورفیروکلاستی این سنگ‌ها حاکی از جوش خوردگی ذرات خاکستر است. بلورهای مختلفی از جنس پلاژیوکلاز، کلینوپیروکسن اوژیتی، الیوین، کانی‌های تیره و نیز قطعات سنگی به صورت خرددهایی با اندازه‌های متفاوت در زمینه‌ی شیشه‌ای جریانی آن‌ها دیده می‌شوند [۵].

سپس، مagmaهای منطقه با نفوذ گنبدهای آتشفسانی تراکی آندزیتی تا ریوداسیتی پلیو-پلیستوسن (به سن ۱۱ تا ۲ میلیون سال قبل) در سنگ‌های رسوبی ژوراسیک (سازند شمشک)، واحدهای آتشفسانی و آذرآواری بازیک-حدواسط اوسن و سنگ‌های رسوبی میوسن تا پلیوسن ادامه یافته است. گنبدهای داسیتی ارسنگ و خیران واقع در شرق کوه شاه جهان به درون سازند شمشک نفوذ کرده‌اند (شکل ۴-الف)، و در بخش‌های حاشیه‌ای دارای حاشیه‌ی انجماد سریع و دگرگونی همبrij خفیف در سنگ میزبان هستند، ولی به سمت بخش‌های داخلی گند، دارای بافت‌های ریز دانه‌ای و گرانوفیری می‌شوند (شکل ۴-ب)، ولی گنبدهای مهم دیگر



شکل ۴ تصاویر صحرایی و میکروسکوپی گنبدهای آندزیتی- داسیتی نفوذ. الف- نفوذ گنبد ارسنگ به درون شیلهای ژوراسیک سازند شمشک. ب- بافت گرانوفیری در بخشهای داخلی نمونه های گنبدار سنگ (نور قطبیده متقطع). پ- گنبد آندزیتی- داسیتی ماهرخ کوه ت- بافت تراکیتی با آمفیبولهای سوخته در گنبد ماهرخ کوه (نور قطبیده متقطع).



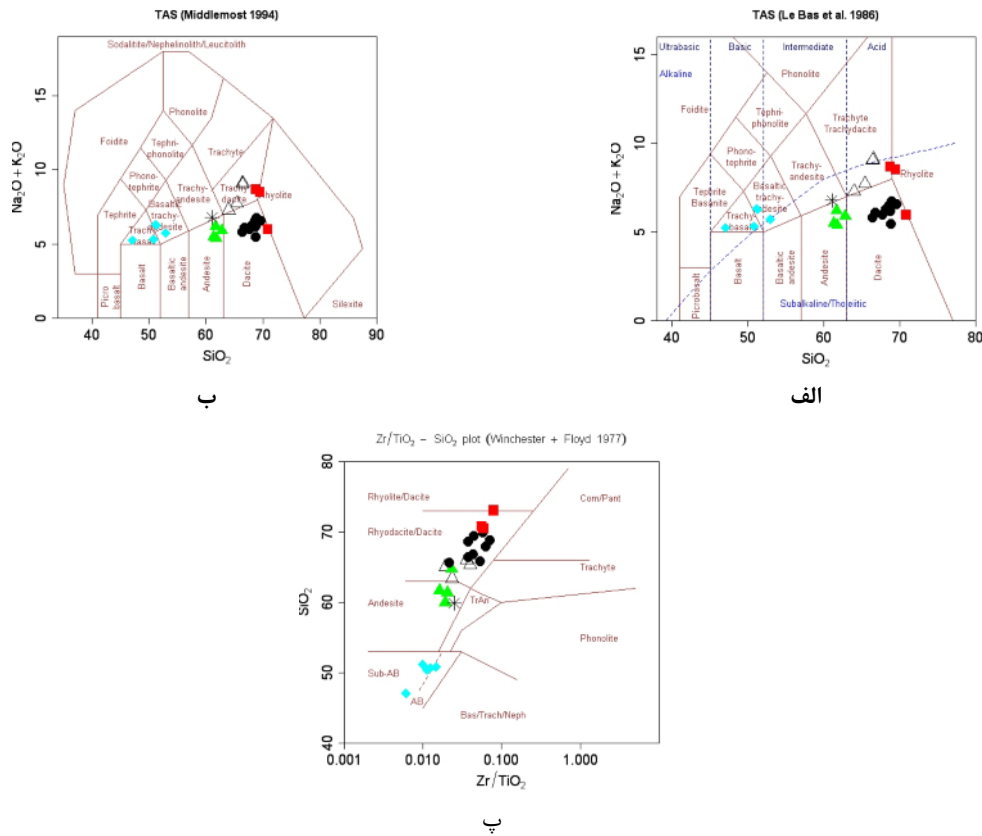
شکل ۵ برونبومهای موجود در نمونه های گنبدهای نفوذ. الف- برونبوم مارنی در نمونه تراکیتی گنبد ماهرخ کوه. ب- برونبوم بازالتی در نمونه تراکی آندزیتی گنبد ماهرخ کوه. پ- تصویر میکروسکوپی از یک نمونه برونبوم شیستی حاوی بلورهای کردیریت با ماکل شعاعی- چرخشی در تراکی آندزیت گنبد ماهرخ کوه (در نور پلاریزه متقطع). ت- برونبوم ماسه سنگی- مارنی در نمونه تراکیتی گنبد ماهرخ کوه.

ضریب جدایش (شکل ۷)، روندهای جدایشی به خوبی دیده می‌شوند. این روندهای ناشی از تبلور فازهای مختلف کانی‌ها (نطیر پیروکسن، پلازیوکلاز، فلدسپات قلیایی، آمفیبول، تیتانومگنتیت و ...) در فرایند تبلور بوده، با بررسی‌های سنگ نگاری همخوانی کاملی دارند. روندهای مزبور نشانگ تغییرات موجود بین سنگ‌های منطقه و ارتباط آن‌ها با یکدیگر است. نمودارهای تغییرات جفت عناصر ناسازگار و عناصر سازگار نسبت به عناصر ناسازگار (شکل ۸) [۱۶، ۱۷] نشان می‌دهند که این ارتباط از نوع تبلور جدایشی است و انحرافهای جزئی از این روند نیز از هضم و آلایش ماگماهی ناشی می‌شود که با حضور برونبوهمها و بافت‌های نامتعادل نیز تأیید می‌شود. در نمودارهای $\text{TiO}_2 - \text{SiO}_2$ - $\text{MgO}/(\text{MgO} + \text{FeO})$ [۱۸] و $\text{SiO}_2 - \text{TiO}_2$ [۱۹] نیز این روند جدایشی تأیید می‌شود (شکل ۹).

ب- ژئوشیمی و پتروژنز

جدول ۱ حاوی نتایج آنالیزهای ژئوشیمیایی نمونه‌های منطقه‌ی مورد بررسی است. این نمونه‌ها در نمودارهای ژئوشیمیایی [۱۲] (شکل ۶-الف) و [۱۴] (شکل ۶-ب) در قلمرو تراکی آندزیت بازالتی، تراکی بازالت، آندزیت، تراکی آندزیت، تراکی داسیت، داسیت و در نمودار [۱۵] (شکل ۶-پ) در گستره‌ی ریوداسیت، داسیت، آندزیت و بازالت شبه قلیایی قرار می‌گیرند. از آنجا که گدازهای الیوین بازالتی میوسن زیرین قادر ارتباط سنی و ژنتیکی با نمونه‌های گنبدی‌های آندزیتی- داسیتی پلیو- پلیستوسن هستند، بنابراین در نمودارهای ژئوشیمیایی همراه با نمونه‌های گنبدی‌ها آورده نشده‌اند و در موارد مورد نیاز به صورت یک گروه مجزا در نمودارهای مربوطه تصویر شده‌اند.

در نمودارهای تغییرات اکسیدهای عناصر اصلی نسبت به



شکل ۶ نامگذاری سنگ‌های آذرین مورد بررسی با توجه نمودارهای مبتنی بر داده‌های ژئوشیمیایی. توضیحات بیشتر در متن مقاله ارائه شده است.

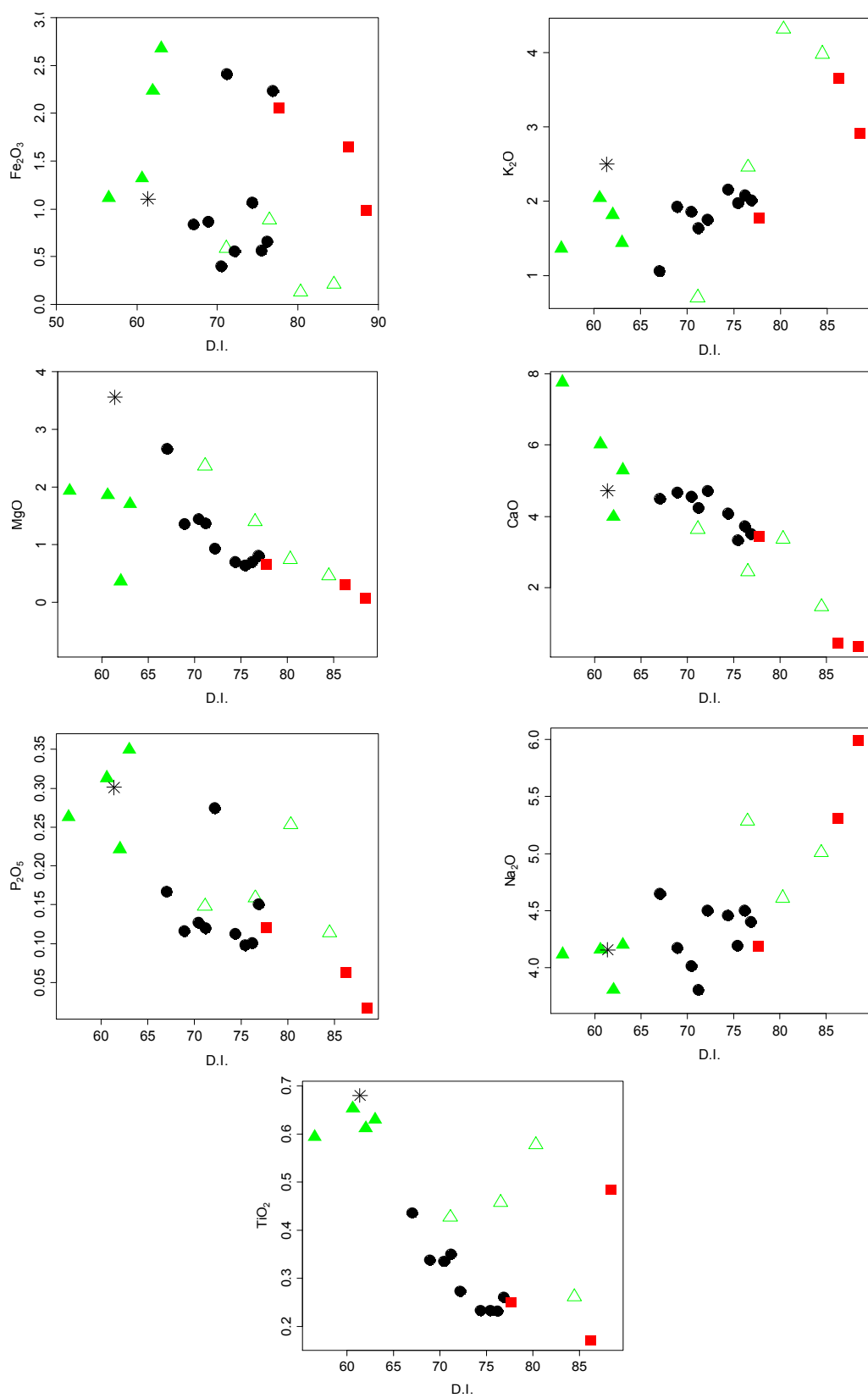
الف- نامگذاری سنگ‌های آذرین منطقه‌ی مشکان با استفاده از نمودار $\text{Na}_2\text{O} + \text{K}_2\text{O}$ - SiO_2 [۱۳].

ب- نامگذاری سنگ‌های آذرین منطقه‌ی مشکان با استفاده از نمودار $\text{Na}_2\text{O} + \text{K}_2\text{O}$ - SiO_2 [۱۴].

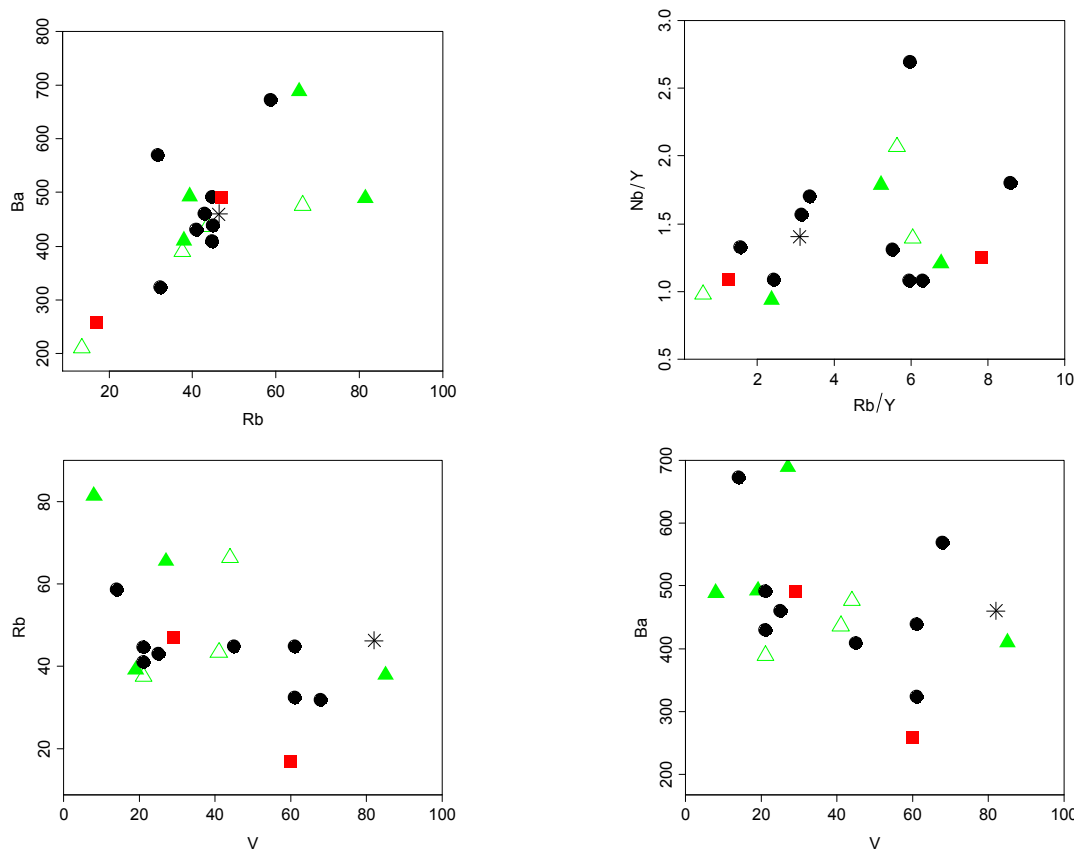
پ- نامگذاری سنگ‌های آذرین منطقه‌ی مشکان با استفاده از نمودار $\text{SiO}_2 - (\text{TiO}_2, \text{Zr})$ [۱۵].

● ریولیت ■ داقیت ▲ آندزیت ◆ بازالت ★ تراکی‌داسیت ✯ تراکی آندزیت △ داسیت

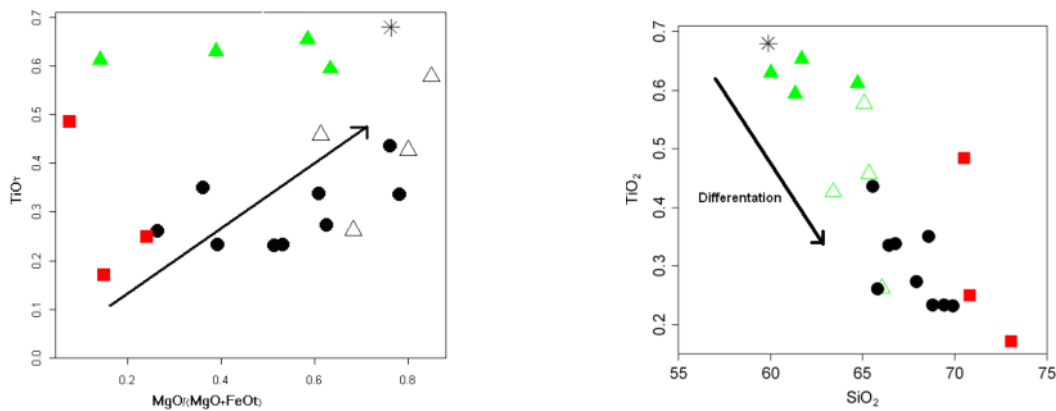
لازم به یادآوری است که علائم یا نشانه‌های استفاده شده برای معرفی گروههای سنگی مورد بررسی در تمامی نمودارها یکسان و همانند این شکل هستند.



شکل ۷ نمودارهای تغییرات اکسیدهای عناصر اصلی نسبت به ضریب جدایشی (D.I) برای سنگ‌های آذرین منطقه‌ی مشکان. توضیحات در متن ارائه شده است.



شکل ۸ نمودارهای تغییرات عناصر ناسازگار- ناسازگار و سازگار- ناسازگار [۱۷، ۱۶] نسبت به یکدیگر سنگ‌های آذرین منطقه‌ی مشکان.



شکل ۹ نمودار TiO_2 - SiO_2 از [۱۹] برای نمایش روندهای وابسته به پدیده‌های تبلور جدایشی طی تشکیل سنگ‌های آذرین منطقه‌ی مشکان.

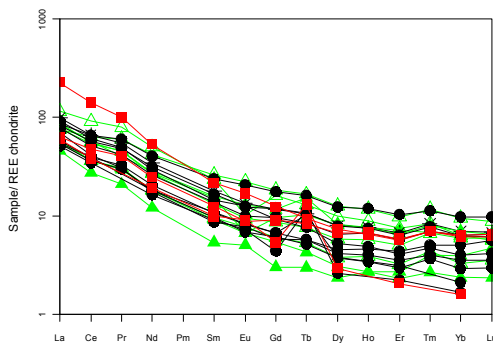
میدان بالاست که شاخص ماغماهای کالکوآلکالن مناطق فرورانش است و می‌تواند از خاستگاه ماغما از یک پوسته‌ی اقیانوسی فرورانده شده و گوهی گوشه‌های دگرنهاد^۲ روی آن، تحمل فرایند تبلور جدایشی و نیز هضم و آلایش ماغما با مواد پوسته‌ای و باقی ماندن عناصر نادرخاکی سنگین و عناصر با

2 -Metasomatised

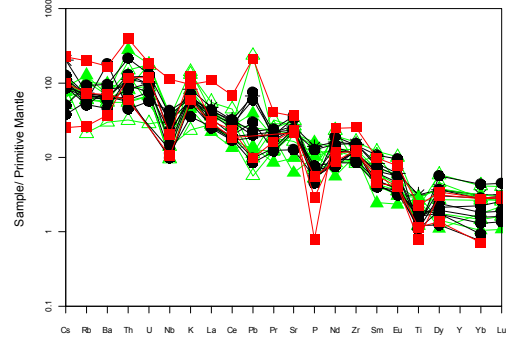
نمودارهای بهنجار شده عناصر خاکی نادر این سنگ‌ها نسبت به گوشه‌ی اولیه (شکل ۱۰-الف) [۲۰]، مورب (شکل ۱۰-ب) [۲۱] و کندریت (شکل ۱۰-پ) [۲۲] خاکی از ارتباط زایشی نمونه‌های گنبدها با یکدیگر و غنی شدگی آن‌ها از عناصر خاکی نادر سبک و عناصر لیتوفیل بزرگ یون و تهی-شدگی آن‌ها از عناصر خاکی نادر سنگین و عناصر باشد

اقیانوسی فروزانده شده، شسته، و به گوهی گوشه‌ای محل خاستگاه ماغماهای کمان‌ها حمل می‌شوند. ولی عناصر HFS در آب نامحلولند و در این فرایند مشارکت ندارند. همچنین، معلوم شده است که اگر یک سرپاوتینیت غنی از عناصر کمیاب در فشار ۱/۲ گیگا پاسکال دستخوش آبزدایی شود، عناصر لیتوفیل بزرگ یونی چون K,Rb,Cs,Ba و نیز La را به طور انتخابی از دست می‌دهد، ولی Nb و عناصر خاکی نادر آن دست نخورده باقی می‌مانند [۲۹]. به علاوه، مشخص شده است که در شرایط مشابه عناصر U,Pb,Ce متحرکند ولی عناصر Zr,Ti نامتحركند [۳۰]. نمونه‌های مورد بررسی در نمودارهای [۳۱] در قلمرو آداکیت و در نمودارهای [۳۲، ۳۳] در قلمرو آداکیت‌های پرسیلیس (شکل ۱۱ الف تا ت) و در نمودارهای [۳۴] در قلمروهای آداکیت‌های مشتق از منابع متبازن‌الی و اکلوژیتی و پوسته تحتانی ضخیم قرار می‌گیرند (شکل ۱۲ الف و ب). جدول ۲ ویژگی‌های ژئوشیمیایی متوسط آداکیت‌ها و همخوانی ویژگی‌های نمونه‌های منطقه‌ی مورب بررسی با این ویژگی‌ها را نشان می‌دهد.

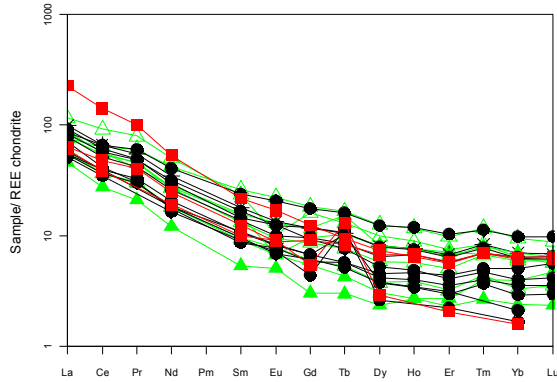
شدت میدان بالا در سنگ خاستگاه ناشی شده باشد. بی-هنجاری منفی از عناصر با شدت میدان بالا (HFSE) نظیر Ti و Nb, P که از ویژگی‌های شاخص محیط‌های کمانی است، اگرچه ممکن است ناشی از آغشتگی و اختلاط ماغما با مواد پوسته‌ای حین صعود و جایگزینی آن در مناطق فروزانش نیز باشد، ولی بسیاری از پژوهشگران تهی بودن آبگون دگرنهاد کننده‌ی گوهی گوشه‌ای از این عناصر را ناشی از حضور فازهای دیرگداز حاوی این عناصر (نظیر روتیل، ایلمنیت، آمفیبول پارگازیتی تیتان دار، اسفن و آپاتیت) در سنگ‌های اکلوژیتی پوسته‌ی اقیانوسی فروزانده شده و یا گوهی گوشه‌ای ذوب نشده محل خاستگاه می‌دانند؛ زیرا عناصر یاد شده در این فازها شدیداً سازگارند [۲۷-۲۳]. برخی از پژوهشگران آبگون از کلر را عامل تهی‌شدگی ماغماهای کمان‌ها از عناصر با شدت میدان بالا و غنی‌شدگی آن‌ها از عناصر لیتوفیل بزرگ یون (LILE) می‌دانند [۲۸]. به علاوه، حلالیت این عناصر در آب نیز نقش بزرگی در نحوه‌ی توزیع آن‌ها در ماغماهای کمان‌ها دارد. از آنجا که عناصر لیتوفیل بزرگ یون در آب محلولند پس براحتی با آبگون دگرنهاد کننده آزادشده از پوسته‌ی



ب - تمام گروههای سنگی بهنجار شده به مورب [۲۱]

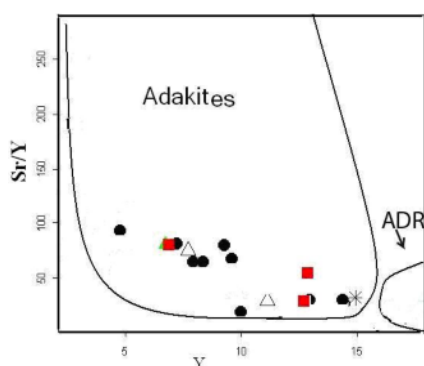


الف - تمام گروههای سنگی بهنجار شده به گوشه‌ی اولیه [۲۰]

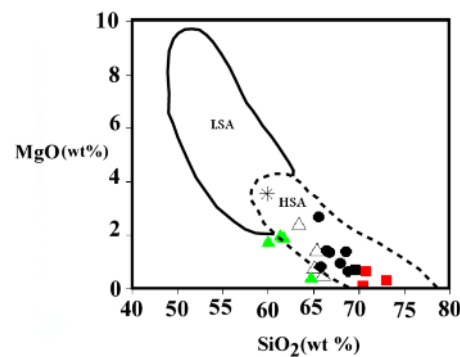


پ - نمودار عناصر نادرخاکی تمام گروههای سنگی منطقه‌ی مشکان بهنجار شده به کندریت [۲۲]

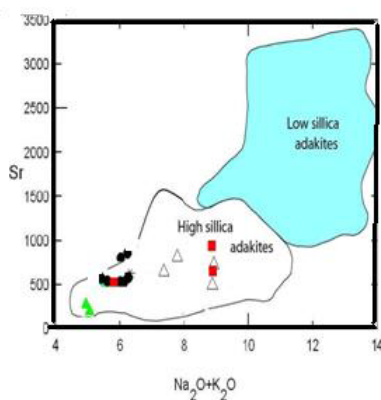
شکل ۱۰ نمودارهای مختلف چند عنصری و عناصر نادرخاکی بهنجارشده به گوشه‌ی اولیه، مورب و کندریت سنگ‌های آذرین منطقه‌ی مشکان.



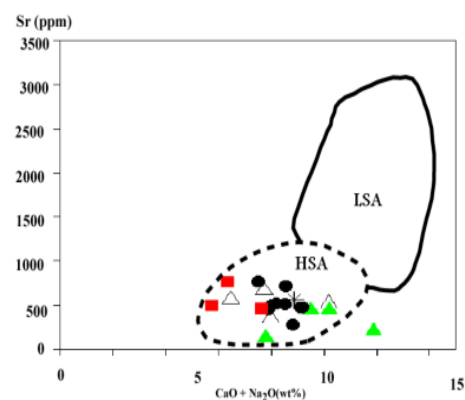
الف- نمودار Sr/Y نسبت به Y [۳۱] برای نشان دادن ماهیت آدکیتی نمونه های منطقه‌ی مشکان.



ب- نمودار MgO نسبت به SiO_2 [۳۳] برای نشان دادن ماهیت آدکیتی پرسیلیس نمونه‌های منطقه‌ی مشکان.

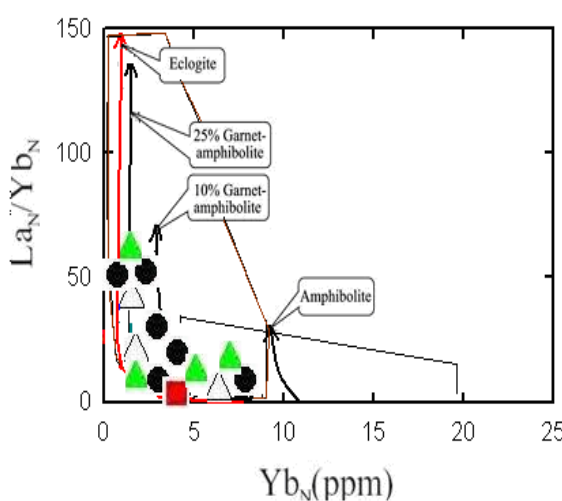


پ- نمودار Sr نسبت به $\text{Na}_2\text{O} + \text{K}_2\text{O}$ [۳۲] برای نشان دادن ماهیت آدکیتی پرسیلیس نمونه‌های منطقه‌ی مشکان.

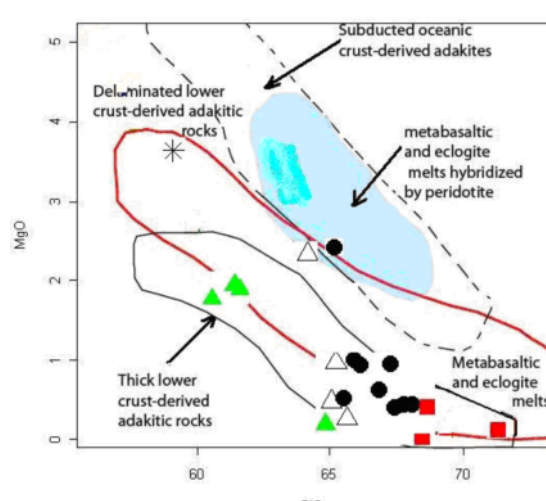


ت- نمودار Sr نسبت به $\text{CaO} + \text{K}_2\text{O}$ [۳۳] برای نشان دادن ماهیت آدکیتی پرسیلیس نمونه‌های منطقه‌ی مشکان.

شکل ۱۱ نمودارهای مختلف برای تعیین ماهیت آدکیتی و آدکیتی پرسیلیس منطقه‌ی مشکان.



الف- نمودار $(\text{La}/\text{Yb})_N$ نسبت به $(\text{Yb})_N$ [۴۸] و موقعیت نمونه‌های نمونه‌های منطقه‌ی مشکان بر روی آن.



ب- نمودار MgO نسبت به SiO_2 از [۳۴] و موقعیت نمونه‌های نمونه‌های منطقه‌ی مشکان بر روی آن.

شکل ۱۲ نمودارهای مختلف تعیین محل خاستگاه نمونه‌های منطقه‌ی مشکان.

جدول ۲ ویژگی‌های ژئوشیمیایی آدکیت‌ها [۳۵] و مقایسه‌ی آنها با نمونه‌های منطقه‌ی مشکان.

آدکیت‌ها	میانگین نمونه‌های مشکان
$\text{SiO}_2 > 56\% \text{Wt}$	$\text{SiO}_2 = 66.24\% \text{Wt}$
$\text{Al}_2\text{O}_3 \geq 15\% \text{Wt}$	$\text{Al}_2\text{O}_3 = 18\% \text{Wt}$
$\text{MgO} < 3\% \text{Wt}$	$\text{MgO} = 1.24\% \text{Wt}$
$\text{Sr} > 300 \text{ ppm}$	$\text{Sr} = 487 \text{ ppm}$
فقدان آنومالی منفی Eu	فقدان آنومالی منفی Eu
$\text{Y} < 18 \text{ ppm}$	$\text{Y} = 11.8 \text{ ppm}$
$\text{Sr/Y} > 20$	$\text{Sr/Y} = 4.8/6.4$
$\text{Yb} < 1.8 \text{ ppm}$	$\text{Yb} = 1.2/1 \text{ ppm}$
$\text{La/Yb} > 16$	$\text{La/Yb} = 1.2/2.7$
HFSE (Nb, Ta)	$\text{Nb} = 1.9/4.1 \text{ ppm}, \text{Ta} = 1.4/6 \text{ ppm}$
Rb/La	$\text{Rb/La} = 1.9/4$
Ba/La	$\text{Ba/La} = 21/5.0$
LREE	تمرکزهای خیلی بالای LREE
HREE	تمرکزهای خیلی پایین HREE

می‌دهند که ماغماهای سنگ‌های آذرین منطقه‌ی مورد بررسی از نوع کالکوآلکالن پاتاسیم متوسط- بالا و به یک کمان غنی شده حاشیه‌ی قاره وابسته بوده است که به دلیل آلودگی با مواد پوسته‌ای، عناصر پاتاسیم، روپیدیم، استرانسیم، باریم، سدیم و توریم آن افزایش یافته است. اندازه‌گیری نسبت $^{87}\text{Sr}/^{86}\text{Sr}$ سنگ‌های آتشفسنایی منطقه بین سبزوار- کاشمر- قوچان که منطقه‌ی مورد بررسی را نیز شامل می‌شود، حدود تغییرات این نسبت را بین ۷۰.۳۵/۷۰.۶۰ تا ۷۰.۴۶/۷۰.۴۶ با مقدار متوسط ۷۰.۴۶ نشان داده است [۱]. این نسبتها با ریشه‌گیری سنگ‌های منطقه از ذوب بخشی یک پوسته‌ی اقیانوسی فرورانده شده و رسوب‌های روی آن و یا ذوب بخشی گوهی گوشته‌ای روی آن در یک منطقه‌ی فرورانشی حاشیه قاره‌ی و آلودگی ماغما با مواد پوسته‌ی قاره‌ای در خلال صعود، همخوانی دارد. بنا بر نظر [۳۳] در مناطق فرورانش، ماغماها از ذوب گوهی گوشته‌ای، ورقه اقیانوسی فرورونده، رسوب‌های روی ورقه اقیانوسی فرورونده‌ی، پوسته قاره‌ای و یا ترکیبی از روش‌های یاد شده همراه با فرایندهای جدایشی، هضم و آلایش ایجاد می‌شوند. از نظر ژئوتکتونیکی منطقه‌ی مورد بررسی در جبهه‌ی شمالی نوار ماغمایی سنوزوئیک منطقه‌ی بینالود، در شمال نوار افیولیتی و دگرگون سبزوار قرار دارد. به عقیده‌ی [۲] نوار

کمان‌های آتشفسنایی را بر اساس نسبت Ce/Yb آنها به دو دسته غنی شده و کمتر غنی شده تقسیم کرده‌اند [۳۰]. اگر این نسبت بیشتر از ۱۵ باشد، کمان از نوع غنی شده و چنانچه کمتر از ۱۵ باشد، از نوع کمتر غنی شده است. به علاوه، در کمان‌های کمتر غنی شده این دو عنصر همگام با یکدیگر تغییر می‌کنند ولی در کمان‌های غنی شده مقدار این نسبت در واقع بیانگر نسبت این عناصر در محل خاستگاه، میزان ذوب بخشی، مشارکت رسوب‌های روی صفحه‌ی فرورونده در تولید مذاب و یا میزان واکنش متقابل بین مذاب گوشته‌ای و پوسته‌ی قاره‌ای است. میانگین این نسبت در سنگ‌های منطقه‌ی مورد بررسی است. میانگین این نسبت در سنگ‌های گوشته‌ای نموده‌ها به (Ce/Yb = 47) بوده (جدول ۳) حاکی از وایستگی نموده‌ها به یک کمان غنی شده است. این غنی شدگی می‌تواند از دگرنهادی شدید خاستگاه گوشته‌ای، نرخ پایین ذوب بخشی محل خاستگاه و آلودگی ماغما با مواد پوسته‌ای ناشی شده باشد. با توجه به جایگاه زمین‌ساختی و شواهد مختلف صحرایی و آزمایشگاهی تمامی این فرایندها به خصوص آلایش ماغمایی در شکل گیری مجموعه‌های سنگی منطقه‌ی مشکان مؤثر بوده‌اند. مجموعه‌ی نمودارهای موجود و نیز مقایسه‌ی روابط پتروزنیتیکی و ژئوشیمیایی سنگ‌های گستره‌ی مورد بررسی با نمونه‌های شناخته شده دیگر مناطق کره زمین (جدول ۳) نشان

است. [۲] با نمونه برداری منظم و تعیین سن نمونه‌ها به روش پتاسیم - آرگون، سن آن‌ها را بین ۴۱ تا ۲/۷ میلیون سال برآورد کرده، مهاجرت جبهه‌ی آتشفسانی به سمت شمال را به اثبات رسانده‌اند. این ارقام به خوبی با موقعیت جای‌گیری این سنگ‌ها همخوانی دارد، به طوری که سنگ‌های قدیمی (۴۱ میلیون ساله) اساساً در جنوب منطقه‌ی مشکان و یا در داخل افیولیت‌های سبزوار قرار دارند در حالی که سنگ‌های جوان (۲/۷ میلیون ساله) اساساً در قسمت‌های مرکزی و شمالی منطقه‌ی مشکان رخنمون دارند. سن سنجی با یک پرتوسنج به روش پتاسیم-آرگن سنگ کل بر روی نمونه‌های نئوژن منطقه‌ی مشکان که در این پژوهش انجام شده‌اند نیز پیدایش مانگماتیسم جوان در این منطقه را تأیید می‌کنند (جدول ۴).

چنانکه گفته شد، نمونه‌های گنبدهای نئوژن منطقه‌ی دارای شباهت‌های نزدیکی با آدکیت‌ها هستند. این شباهت‌ها شامل ترکیب سنگی حدواتر تا فلزیک (آندرزیتی تا ریوداسیتی)، مجموعه‌ی فوکریستی شاخص (پلاژیوکلازهای منطقه‌ای، هورنبلند، کلینوپیروکسن و بیوتیت؛ فازهای عارضه‌ای مشخص (آپاتیت، اسفن و تیتانومنیتیت) و ژئوشیمی خاص (جدول ۲ و ۵) می‌شوند. بررسی‌های مختلف روی پتروژن آدکیت‌ها نشان داد که آنها در محیط‌های مختلف زیر تشکیل می‌شوند:

افیولیتی سبزوار، باقیمانده‌ی پوسته اقیانوسی بخش شرقی نئوژنیس است که تا کرتاسه فوقانی فعال بوده و در اوخر این دوره به دنبال جنبش‌های کوهزایی آپی (لارامید) شروع به بسته شدن کرده است. در آغاز ائوسن و با شکل‌گیری یک منطقه‌ی فرورانشی پرشیب به سوی شمال، یک کمان ماقمایی از نوع جزایر کمانی در بخش جلویی لبه‌ی جنوبی منطقه‌ی البرز شرقی (و یا منطقه بینالود) ایجاد شده است. در ائوسن بالایی، این کمان با لبه‌ی جنوبی منطقه‌ی البرز شرقی برخورد کرده و با فرارانش درازگووال اقیانوسی و بخشی از پوسته اقیانوسی نئوژنیس سبزوار بر روی این لبه‌ی جنوبی، افیولیت‌ها و دگرگونه‌های سبزوار و نوار ماقمایی ائوسن شمال آن تشکیل شده‌اند. این برخورد با ضخیم‌شدگی پوسته و فرورفتن ناپیوستگی مoho به عمق بیشتر همراه بوده است. ناهنجاری‌های نقلی این ناحیه، منفی و بین ۱۲۰ - ۱۳۰ - میلی‌گال است که حاکی از ضخامت زیاد پوسته در این منطقه است [۳]. با الحاق این کمان به لبه‌ی صفحه‌ی شمالی، فعالیت‌های آتشفسانی، طبیعت کالکوآلکالن حاشیه‌ی قاره‌ای یافته‌اند. تداوم فرارانش پوسته اقیانوسی تا پلیو-پلیستوسن ادامه یافته و فراورده‌های فورانی جوان با طبیعت ماقماتیسم آدکیتی حاشیه‌ی قاره را بیشتر در منطقه‌ی مشکان در جنوب قوچان به وجود آورده

جدول ۳ نسبت‌های ژئوشیمیایی برخی از عناصر کمیاب در نمونه‌های منطقه‌ی مورد بررسی و دیگر نقاط جهان.

Ce/Yb	Ba/La	La/Ta	Th/Ta	
۱۸,۱	۲۱,۱	-	-	Andes*
۱۶,۸۱	۱۳,۳	-	-	Swp*
۳۴,۴	۲۲,۳	-	-	Andes**
۲۲,۶	۱۸,۸	-	-	Swp**
۲۷	-	۲۶,۸	۵,۲	NVZ (a)
۱۷,۱	۶۲,۸	۴۶,۴	۱۰,۵	NVZ (b)
۲۰,۵	۲۳,۳	۳۱,۴	۵	CVZ (a)
۴۰	۱۲,۹	۱۳,۵	۲,۳	CVZ (a ₁)
۱۵,۱	۲۲,۸	-	-	SVZ (c)
۱۰,۵	۲۶,۵	-	-	SVZ (b)
۳۶,۴	۲۳,۹	-	-	NVZ***
۹۴,۳-۲۶,۴ (۴۷)	۸,۴-۴۵,۳ (۲۱,۵)	۳۹-۱۱ (۵,۱)	۲,۲-۱۵,۳ (۷)	منطقه مورد مطالعه

- بازالت‌های منطقه‌ی آند، Swp* - بازالت‌های جنوب غربی اقیانوس آرام، Andes** - آندزیت‌های منطقه‌ی آند، Andes*** - آندزیت‌های جنوب غربی اقیانوس آرام، NVZ (a) - منطقه‌ی آتشفسانی آند شمالی، (a₁) - مجاور منطقه‌ی آتشفسانی آند شمالی، CVZ - منطقه‌ی آتشفسانی آندمرکزی، NVZ*** - سنگ‌های آهکی - قلایای آتشفسانی آندشمالی (b) - منطقه‌ی آتشفسانی آند شمالی، (b) - منطقه‌ی آتشفسانی آند جنوبی، SVZ - منطقه آتشفسانی آند جنوبی [۵].

جدول ۴ نتایج حاصل از سن سنجی به روش پتابسیم-آرگن سنگ کل نمونه‌های منطقه‌ی مشکان.

شماره نمونه	نوع سنگ	وزن نمونه گرم	K ₂ O %wt	³⁶ Ar exp 10 ⁻⁹ Cm ³	⁴⁰ Ar* %	⁴⁰ Ar gr 10 ⁻⁹ Cm ³	سن نمونه میلیون سال
FM.9	تراکیت	۱,۰۰۹۱	۱,۸۲	۱,۱۹۴	۲۷,۶	۱,۳۳۷	۰,۰۸ ± ۲,۲۹
FM.9	تراکیت	۰,۶۰۶۰	۱,۸۲	۱,۲۴۰	۱۹,۴	۱,۴۵۵	۰,۱۲ ± ۲,۳۳
FM37	تراکی آندزیت	۱,۰۰۹۲	۱,۵۲۰	۱,۷۴۸	۱۹,۸	۱,۲۶۲	۰,۱۳ ± ۲,۵۷
FM35	داسیت	۰,۶۱۶۳	۱,۶۹۰	۰,۹۲۵	۵۶,۷	۵,۸۱۴	۰,۳ ± ۱۰,۶
FM29	الیوین بازالت	۱,۰۱۸۷	۱,۷۸۰	۲,۰۶۸	۶۵,۲	۱۱,۲۴۰	۰,۵ ± ۱۹,۵

جدول ۵ مقایسه‌ی ویژگی‌های ژئوشیمیایی آداکیت‌های پرسیلیس و کم‌سیلیس [۳۲] با میانگین نمونه‌های منطقه‌ی مشکان در جنوب قوچان، ایران.

میانگین نمونه‌های آداکیتی منطقه جنوب قوچان	LSA	HSA
SiO ₂ = ۶۶,۲۴%	SiO ₂ < ۶۰%	SiO ₂ > ۶۰%
MgO = ۱,۲۴%	MgO = ۴ - ۹%	۰,۵% < MgO < ۴%
CaO + Na ₂ O = ۶,۷۳%	CaO + Na ₂ O > ۱۰%	CaO + Na ₂ O < ۱۱%
Sr = ۴۸۷,۶ ppm	Sr > ۱۰۰۰ ppm و دارای آنومالی مثبت شدید Sr که فقط متعلق به این گروه است	Sr < ۱۱۰۰ ppm و فاقد آنومالی مثبت Sr یا آنومالی مثبت خیلی کم
TiO ₂ = ۰,۴%	TiO ₂ > ۳%	TiO ₂ < ۰,۹%
MgO پایین و فاقد فنوکریست پیروکسن	MgO بالا و گاهی حاوی فنوکریست کلینوپیروکسن	MgO پایین و فاقد فنوکریست پیروکسن
-	نسبت Cr/Ni برابر ۱,۵ تا ۲,۵	نسبت Cr/Ni برابر ۰,۵ تا ۴,۵
LSA پایین LREE	HSA بالاتر نسبت به LREE	LSA پایین تر نسبت به LREE

ولی خاستگاه گوهی گوشه‌ای یا ورقه‌ی اقیانوسی فرورانده را نیز رد نمی‌کند.

(۲) آداکیت‌ها اغلب در مناطق فرورانش دیده می‌شوند [۳۳، ۳۴، ۴۰، ۴۱، ۴۲]. همسانی نزدیک آداکیت‌ها با مذاب‌های مافیک تجربی [۳۳، ۴۳، ۴۴، ۴۵] و این حقیقت که آداکیت‌های جهان از نظر سنی خیلی جوان بوده (۱۰ تا ۲۵ میلیون سال) و ناشی از فرورانش یک پوسته‌ی اقیانوسی گرم یا فرورانش پشتۀ اقیانوسی داغ هستند، از تشکیل این سنگ‌ها در طیف محدودی از شرایط دما-فشار حکایت می‌کند. ذوب پوسته‌ی اقیانوسی فرورونده به عنوان خاستگاه آداکیت‌ها با کارهای تجربی بر روی ذوب اشباع از آب یا آب زدایی آمفیبولیت‌ها تأیید شده است. به علاوه، حضور ادخال‌هایی از شیشه‌های آداکیتی در زینولیت‌های درون گدازه‌های وابسته به فرورانش و حضور رگه‌های آداکیتی در افیولیت‌ها نیز از دیگر شواهد این خاستگاه هستند [۳۳]. حضور گنبدهای آداکیتی در افیولیت‌های سبزوار

(۱) از ذوب پوسته‌ی تحتانی مافیک. تشکیل آداکیت‌ها از ذوب مواد مافیک پوسته‌ی تحتانی (شکل ۱۳) نیازمند شرایط گرمایی به طور غیرعادی داغ است [۳۴، ۳۵، ۳۶، ۳۷]. ذوب بخشی پروتولیت‌های مافیک تنها در رخساره‌ی انتقالی آمفیبولیت به اکلوژیت در حداقل فشار ۱۵ تا ۲۵ کیلوبار و در طیف دمایی ۹۰۰ تا ۷۰۰ درجه سانتیگراد ممکن می‌شود. [۳۸] به تشکیل آداکیت‌ها از ذوب پوسته‌ی بازالتی تحتانی در کمان‌های قاره‌ای واقع بر یک پوسته‌ی ضخیم اشاره کرده‌اند. [۳۹] نیز به تشکیل آداکیت‌ها از طریق ذوب پوسته‌ی تحتانی و ایجاد تهی شدگی از عناصر لیتوفیل بزرگ یون در گرانولیت‌های پوسته اشاره کرده‌اند. حضور برونبومهای شیستی و گنایسی در برخی از نمونه‌های گنبدهای آداکیتی منطقه‌ی جنوب قوچان، اگرچه می‌تواند نشانه‌ای از ریشه گرفتن مagma از منابع زیر پوسته‌ای (مثلاً ذوب پوسته‌ی بازالتی تحتانی) باشد

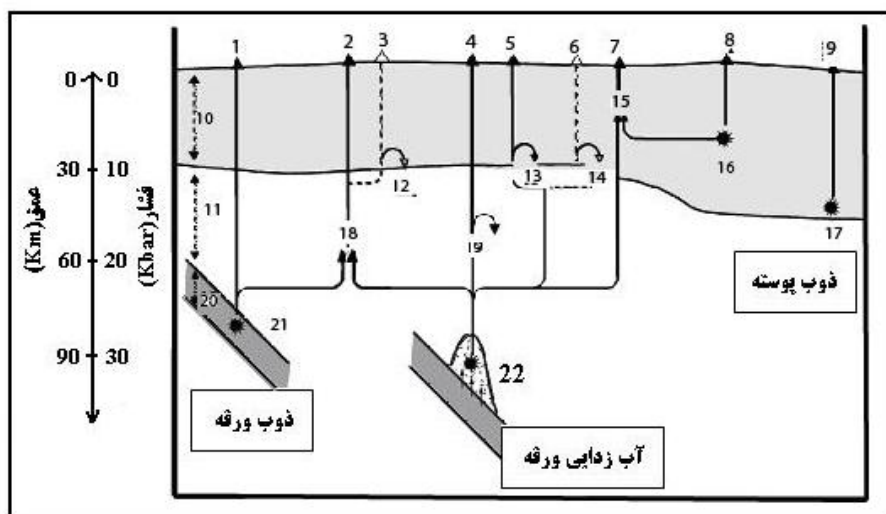
از میان گوهی گوشه‌ای، پریدوتیت را هضم می‌کند [۴۷]. به علاوه، این مذاب در خلال عبور از میان پریدوتیت گوشه آن را دگرنهاد نیز می‌کند و خود نیز به مرور مصرف می‌شود. اگر نسبت مذاب ورقه‌ای به پریدوتیت گوشه بالا باشد، در خلال دگرنهادی تمام مذاب مصرف نمی‌شود، بنابراین مذاب آلایش یافته (آدکیت) صعود می‌کند و به درون پوسته و یا به سطح زمین می‌رسد. ولی اگر این نسبت پایین باشد، تمام مذاب در واکنش دگرنهادی مصرف می‌شود و مذاب آدکیتی به سطح نمی‌رسد. آدکیت‌های پرسیلیس، شاخص مذاب‌های ورقه‌ای حاصل از گداخت سنگ‌های مافیک ورقه‌ای اقیانوسی فرورونده در فشار بالا (گستره‌ی پایداری گارنت= رخساره‌های اکلوژیت و گارنت آمفیبولیت) هستند در حالی که آدکیت‌های کم سیلیس، حاصل گداخت بخشی پریدوتیت گوهی گوشه‌ای هستند که قبلاً در اثر واکنش با مذاب‌های ورقه‌ای دگرنهاد شده و ترکیب آن‌ها تغییر یافته است.

مجموعه شواهد ژئوشیمیایی این پژوهش، از ماهیت کالکوآلکالن، نقش تبلور جدایشی و فرایندهای هضم و آلایش ماقمایی در شکل‌گیری و تحول ماقما، ماهیت فرورانشی کمان

در جنوب منطقه [۴۵] از شواهد روشن این خاستگاه در منطقه است. در مناطق فرورانش، ماقماها از ذوب ورقه‌ی اقیانوسی فرورونده، گوهی گوشه‌ای روی منطقه‌ی فرورانش، رسوب‌های روی ورقه‌ی اقیانوسی فرورونده، پوسته‌ی قاره‌ای و نیز ترکیبی از این خاستگاه‌ها همراه با فرایندهای جدایشی، هضم و آلایش ماقمایی تشکیل می‌شوند.

(۳) برخی از آدکیت‌ها در مناطق برخورد دیده می‌شوند [۴۰-۴۲] اما آن‌ها در جایگاه‌های پس از برخورد نیز دیده شده‌اند [۴۶]. عقیده براین است که آن‌ها در جایگاه‌های پس از برخورد، از ذوب پوسته‌ی تحتانی به وجود می‌آیند. ذوب پوسته‌ی تحتانی در اثر تراوش ماقماهای عمیق غنی از پتاسیم صورت می‌گیرد. حتی در مناطق فرورانش هم پتروزن آدکیت‌ها می‌تواند به ذوب پوسته‌ی تحتانی مافیک یا نفوذ ماقماهای مافیک یا جدایشی بلوری فشار بالای ماقمای بازالتی آبدار وابسته باشد.

براساس نظر [۳۳] آدکیت‌ها، مذاب‌های ورقه‌ای حاصل از ذوب ورقه‌ی اقیانوسی فرورانده شده هستند که ترکیب آن‌ها در خلال صعود از میان گوهی گوشه‌ای و در اثر واکنش با پریدوتیت گوشه تغییر کرده است. این مذاب در خلال صعود



- ۱- آدکیت‌های کم سیلیس-۲-آدکیت‌های غنی از منیزیم-۳- و معادل‌های آنها-۴- آدکیت‌های پرسیلیس
- ۵- آندزیت‌های جدایشی با نسبت Sr/Y متوسط-۶- سنگ‌های معمول BADR (بازالت- آندزیت- داسیت- ریولیت) (با عدد منیزیم پائین)-۷- داسیت/ آندزیت‌های اختلطاتی-۸- آدکیت‌های پوسته‌ای نوع C غنی از LILE با نسبت Sr/Y متوسط-۹- نسبت Sr/Y پائین)
- ۱۰- داسیت/ آندزیت‌های اختلطاتی-۱۱- گوهی گوشه‌ای-۱۲- جدایش فشار پائین (آمفیبول)-۱۳- جدایش فشار پائین (پیروکسن)-۱۴- جدایش فشار پائین (پیروکسن)-۱۵- اختلط Sr/Y با نسبت LILE متوسط-۱۶- مذاب اولیه‌ی غنی از LILE با نسبت Sr/Y متوسط-۱۷- مذاب اولیه‌ی آدکیتی با نسبت Sr/Y متوسط-۱۸- دگرنهادی گوشه و ذوب-۱۹- جدایش فشار بالا (گارنت)-۲۰- ورقه فرورانده شده-۲۱- گدازه‌ی آدکیتی اولیه (ذوب ورقه)-۲۲- مذاب اولیه‌ی آندزیت‌های معمول.

شکل ۱۳ الگوی ژئodynامیکی تشکیل آدکیت‌ها از [۳۵].

بافت‌های غربالی و ادخال‌های شیشه‌ای، تیغه‌های برهم‌شده و ساختار منطقه‌ای در آن‌ها شده است. این شواهد همراه با نسبت‌های ایزوتوپی $^{87}\text{Sr}/^{86}\text{Sr}$ سنگ‌های آتشفشاری منطقه که به طور متوسط برابر 70.46% است، حاکی از آلایش مagmaی سازنده سنگ‌های آتشفشاری منطقه با مواد پوسته‌ای است. نمودارهای بهنجارشده سنگ‌های مagmaی منطقه، غنی HREE شدگی آن‌ها از LREE و LILE و تهی‌شدگی آن‌ها از HFSE را نشان می‌دهند. این ویژگی‌ها که از ویژگی‌های روشن سنگ‌های کالکو‌آلکالن کمان‌های آتشفشاری هستند، همراه با شواهد دیگر ژئوشیمیابی بیانگر ظاهر مagmaتیسم آداتیستی در یک زون فروزانش حاشیه قاره است. مagmaتیسم یاد شده از نوع آداتیستی پرسیلیس و ناشی از ذوب پوسته‌ی اقیانوسی دگرگون شده نئوژن سبزوار در گستره‌ی پایداری گارنت در یک منطقه‌ی فروزانش حاشیه‌ی قاره با شبیب به سوی شمال در پلیو-پلیستوسن بوده است.

مراجع

- [1] Bauman A., Spies O., Lensch G., *Strontium isotopic composition of post-ophiolithic tertiary volcanics between kashmar, sabzevar and Quchan INE IRAN. Geodynamic project (geotraverse) in Iran, Final report*, Geo. Suv of Iran. Report no.51 (1983).
- [2] Spies O., Lensch G., Mihem A., *Chemistry of the post-ophiolithic tertiary volcanics between sabzevar and Quchan/NE-IRAN. Geodynamic project (geotraverse) in Iran, final report*, Geo. Suv of Iran. Report no.51 (1983).
- [3] بهار فیروزی خ، ازدری ع، سیاری ع، "گزارش مطالعات اکتشاف چکشی محدوده ورقه ۱:۱۰۰۰۰ مشکان"، سازمان زمین‌شناسی و اکتشافات معدنی کشور (گزارش داخلی) (۱۳۷۷).
- [4] قریب ف، "طرح اکتشاف مواد معدنی با استفاده از داده‌های ماهواره‌ای و ژئوفیزیک هوایی - بررسی‌های دوسنجی در محدوده ورقه ۱:۱۰۰۰۰ مشکان"، سازمان زمین‌شناسی و اکتشاف معدنی کشور (گزارش داخلی) (۱۳۷۷).

قاره‌ای آن، وجود یک سنگ با خاستگاه اکلوژیتی یا گارنت آمفیبولیتی حاصل از ورقه‌ی اقیانوسی فروزانده شده و بالاخره سرشت آداتیستی مagmaتیسم منطقه حکایت دارد. این نوع مagmaتیسم که از دیگر نقاط ایران نیز گزارش شده است (برای مثال [۱۹، ۴۲]) با ویژگی‌هایی نظیر غالب بودن مجموعه سنگی آندزیستی-داسیستی یا معادل درونی آن، جوان بودن مagmaتیسم (معمولًا نئوژن)، تمرکزهای خیلی بالای LREE، تمرکزهای خیلی پایین Y و Sr/Y، و نسبت‌های La_n/Yb_n و Dy_n/Yb_n بالا [۱۹، ۴۸-۵۰] شناخته می‌شود.

برداشت

آتشفشارهای نئوژن جنوب قوچان، بخش شمالی و جوان نوار آتشفشاری شمال افیولیت‌های سبزوارند که با روند تقریباً شرقی-غربی و به موازات آن قرار دارند. این نوار احتمالاً ناشی از نابودی پوسته‌ی اقیانوسی نئوتیس حوضه‌ی سبزوار در اوخر کرتاسه-پالئوسن در یک زون فروزانش حاشیه‌ی قاره با شبیب به سوی شمال است. این زون نخست از نوع جزایر کمانی بوده، ولی با ادامه فروزانش و اتصال جزایر کمانی به لبه‌ی صفحه ای قاره‌ای، به یک زون فروزانش حاشیه قاره‌ای تبدیل شده است. گرچه این فروزانش از اوایل ائوسن آغاز شد، ولی به دلیل تداوم فروزانش پوسته‌ی اقیانوسی به درون گوشه‌ی هضم آن، آخرین فراوردهای مagmaی آن تا پلیو-پلیستوسن نیز فوران داشته‌اند. در گذر زمان و با تداوم فروزانش، جبهه‌ی مagmaی از جنوب در مجاورت نوار افیولیتی و دگرگونی سبزوار به سوی شمال در جنوب قوچان تغییر مکان داده و در نتیجه از افیولیت‌ها به طرف شمال، سن مagmaتیسم به ترتیب از ائوسن به پلیو-پلیستوسن کاهش یافته است. سنگ‌های آتشفشاری نئوژن از الیوین بازالت‌های میوسن زیرین و تراکی آندزیست، تراکیت، داسیت و آذرآواری‌های پلیو-پلیستوسن با طبیعت کالکو‌آلکالن پتاسی و سرشت آداتیستی تشکیل شده‌اند. حضور برونوبوهای مختلف از جمله گنیس‌های پوسته‌ی قاره‌ای تحتانی، سنگ‌های دگرگونی، سنگ‌های رسوبی و سنگ‌های آذرین درونی و بیرونی قدیمی‌تر در سنگ‌های آتشفشاری منطقه، باعث ایجاد عدم تعادل ترکیبی از جمله خوردگی‌های شیمیابی، گردش‌گی لبه‌های بلوری، تشکیل بلورهای اسکلتی،

- differentiation products using immobile elements", Chem. Geol, 20, (1977) 325-343.*
- [16] Rogers J.J.W., Rayland P.C., "Trace elements in continental margin magmatism", Part I. Geol. Soc. Am. Bull, 91,(1980)196-198.
- [17] Rogers J.J.W., Suayah I.B., Edwards J.M., "Trace elements in continental margin magmatism", Part IV. Geol. Soc. Am. Bull, 95, (1984) 1437-1445.
- [18] Mclemore V.T., Munroe E.A., Heizler M.T., "Geochemistry of copper flat porphyry and associated deposits in the Hillsboro mining district, Sierra County, New Mexico, U.S.A", Sour. Geochem Explor 67(1999) 167-189.
- [19] Omrani J., Agard P., Whitechurch H., Benoit M., Prouteau G., Jolivet L., "Arc-magmatism and subduction history beneath the Zagros Mountain, Iran: A new report of adakites and geodynamic consequences", Lithos, 106, (2008) 380-398.
- [20] Sun S.S., MC Donough W.F., "Chemical and isotopic systematics of oceanic basalts: implications for mantle composition and processes", In: Saunders, AD. And Norry , M.J. (eds), Magmatism in oceanic basins. Geol. Soc. London. Spec. Pub, 42, (1989) 313-345.
- [21] Pearce J.A., "The role of sub- continental lithosphere magma genesis at destruction plate margin", In continental basalts and mantle Xenolites. (1983).
- [22] Nakamura N., "Determination of REE, Ba, Fe, Mg, Na, K in carbonaceous and ordinary chondrites", Geochi. Cosmochim. Acta,38, (1974) 757-775.
- [23] Ayers J.C., Watson E.B., "Solubility of apatite, monazite, zircon, and rutile in super critical fluids with implications for subduction zone geochemistry", Phil. Trans. R. Soc. London A, 335,(1991) 365-375.
- [24] Ionov D.A., Hofmann A.W., "Nb-Ta-rich mantle amphiboles and micas implications for subduction-related metasomatic trace element fractionations", Earth. Planet. Sci. lett, 131, (1995) 341-356.
- [25] Brenan J.M., Shaw H.F., Reyerson F.J., Phinney D.L., "Mineral-aqueous Fluid partitioning of trace elements at 900 c and 2 Gpa: Constraints on the rare element chemistry of mantle and deep
- [۵] فتاحی ا، "پتروژنر، رخساره‌ها و مکانیسم فوران آتشفسان مارکوه، جنوب غرب قوچان" ، پایان نامه کارشناسی ارشد، دانشکده علوم زمین، دانشگاه صنعتی شهرود(۱۳۸۲).
- [۶] قاسمی ح، فتاحی ا، "ماگماتیسم نئوژن در منطقه سرولات، جنوب قوچان" ، مجموعه مقالات هشتمین همایش انجمان زمین‌شناسی ایران، دانشگاه صنعتی شهرود، (۱۳۸۳) ص ۳۰۲-۲۹۲.
- [7] Ghasemi H., Petrology and geochemistry of Markooh Neogene Volcano, South Quchan, Northeast Iran", International conference on continental volcanism IAVCEI2006. May 14-18, Guangzhou, China. (2006) p103.
- [۸] تنها ع، قاسمی ح، "پتروژنر گنبدهای نیمه آتشفسانی شمال مشکان (جنوب قوچان)" ، شانزدهمین همایش انجمان بلورشناسی و کانی‌شناسی ایران، دانشگاه گیلان، رشت(۱۳۸۷). ص ۳۸۵ تا ۳۹۰.
- [۹] قاسمی ح، تنها ع، صادقیان م، خانعلی زاده ع، "اولین گزارش از ماگماتیسم آداکیتی نئوژن در جنوب قوچان" ، دوازدهمین همایش انجمان زمین‌شناسی ایران، اهواز (۱۳۸۷). ص ۵۸۴ تا ۵۸۸.
- [۱۰] تنها ع، "پتروژنر سنگ‌های آذرین نئوژن، شمال عنبرآباد(مشکان)" ، پایان نامه کارشناسی ارشد، دانشکده علوم زمین، دانشگاه صنعتی شهرود(۱۳۸۸).
- [۱۱] نبوی م، "دبیاچه‌ای بر زمین‌شناسی ایران" ، سازمان زمین‌شناسی و اکتشافات معدنی کشور(۱۳۵۵).
- [12] Donaldson C.H., Henderson C.M.B., "A new interpretation of round embayments in quartz crystals", Min. Mag., 52(1988) 27-33.
- [13] Le Bas, Le maitre, streckeisen and zanettin., "A chemical classification of volcanic rocks based on the total Alkali-silica Diagram", J.Petrol, 27, Part 3, 745-750(1986).
- [14] Middlemost E.A.K., "Naming materials in the magma/igneous rock system", Earth - Science Reviews 37,(1994) 215-224.
- [15] Winchester J.A., Floyd P.A., "Geochemical discrimination of different magma series and their

- [35] Moyen J.F., "High Sr/Y and La/Yb ratios: The meaning of the “ adakitic signature ”", *Lithos*, (2009).
- [36] Peacock S.M., Rushmer T., Thompson A.B., "Partial melting of subducting oceanic crust", *Earth and Planetary Science Letters* 121,(1994) 227–244.
- [37] Peacock S.M., Wang K., "Seismic consequences of warm versus cool subduction metamorphism: examples from southwest and northeast Japan", *Science* 286,(1999) 937–939.
- [38] Atherton M.P., Petford N., "Generation of sodium-rich magmas from newly underplated basaltic crust", *Nature* 362, (1993) 144– 146.
- [39] Rollinson H.R., Tarney J., "Adakites- The key to understanding LILE depletion in granulites", *Lithos* 79(2005) 61-81.
- [40] Sajona F.G., Maury R.C., Pubellier M., Leterrier J., Bellon H., Cotten J., "Magmatic source enrichment by slab-derived melts in a young post-collision setting, central Mindanao (Philippines)", *Lithos* 54,(2000) 173–206.
- [41] Prouteau G., Scaillet B., Pichavant M., Maury R., "Evidence for mantle metasomatism by hydrous silicic melts derived from subducted oceanic crust", *Nature* 41à, (2001) 197–200.
- [42] Jahangiri A., "Post-collisional Miocene adakitic volcanism in NW Iran: geochemical and geodynamic implications", *Journal of Asian Earth Sciences* 30, (2007) 433–447.
- [43] Rapp R.P., Watson E.B., "Dehydration melting of metabasalt at 8–32 kbar: implications for continental growth and crust–mantle recycling", *Journal of Petrology* 36,(2007) 891–931.
- [44] Klemme S., Blundy J.D., Wood B.J., "Experimental constraints on major and trace element partitioning during partial melting of eclogite", *Geochimica et Cosmochimica Acta* 66, (2002) 3109–3123.
- [۴۵] صالحی نژاد ح., صادقیان م., قاسمی ح., "ماگماتیسم آدکیتی در منطقه باشتین، خرب سبزوار"، یازدهمین همایش انجمن زمین‌شناسی ایران، دانشگاه، فردوسی مشهد، (۱۳۸۶).
- [46] Xu W.-L., Wang Q.-H., Wang D.-Y., Guo J.-H., Pei F.-P., "Mesozoic adakitic rocks from the Xuzhou–Suzhou area, eastern China: evidence for partial melting of delaminated lower continental crustal fluids", *Geochim. Cosmochim. Acta*, 59, (1995) 3331-3350.
- [26] Stalder R., Foley S.F., Brey G.P., Horn I., "Mineral – aqueous fluid partitioning of trace elements at 900-1200 °C and 3-5.7 GPa: new experimental data for garnet , clinopyroxene, and rutile, and implications for mantle metasomatism", *Geochim. Cosmochim. Acta*, 62, (1998) 1781–1801.
- [27] Ayers J.C., "Trace element modeling for aqueous fluid-peridotite inter action in the wedge of subduction zones", *Conti. Mineral. Petrol.* 132, (1998) 390-404.
- [28] Keppler H., "Constraints from partitioning experiments on the composition of subduction zone fluids", *Nature*, 380,(1996) 237-240.
- [29] Tatsumi y., Hamilton D.L., Nesbitt R.W., "Chemical Characteristics of fluid phase released from a subducted lithosphere and origin of arc magmas: evidence from high pressure experiments and natural rocks", *J.Volcanol. Geotherm. Res*, 29,(1986) 293-310.
- [30] Juteau T., Maury R., "Geologie de la croute océanique, petrologie et dynamique endogènes" Masson, paris,(1997) 367pp.
- [31] Petrone CM., Francalanci L., Ferrari L., Schaaf P., Conticelli S., "The San Pedro–Cerro Grande Volcanic Complex (Nayarit, Mexico): inferences on volcanology and magma evolution ", In: Siebe C, Aguirre-Díaz G, Macías JL (eds) Neogene-Quaternary continental margin volcanism: a perspective from Mexico. Geol Soc Am Sp Paper, vol 402(03) (2006) pp 65–98
- [32] Martin H., Moyen J-F., "Secular changes in TTG composition as markers of the progressive cooling of the Earth", *Geology* 30 (4), (2002) 319–322.
- [33] Martin H., Smithies R.H., Rapp R., Moyen J.F., Champion D., "An overview of adakite, tonalite – trondhjemite – granodiorite (TTG), and sanukitoid: relationships and some implications for crustal evolution", *Lithos*, 79,(2005) 1-24.
- [34] Stern C.R., Kilian R., "Role of the subducted slab, mantle wedge and continental crust in the generation of adakites from the Austral Volcanic Zone", *Contrib. Mineral. Petrol.* 123,(1996) 263–281.

- comparisons", Journal of Geophysical Research* 95, (1990) 21503–21521.
- [50] Yongfeng Gao, Zengqian Hou, Balz S. Kamber, Ruihua Wei, Xiangjin Meng, Rongsheng Zhao., "Adakitic-like porphyries from the southern Tibetan continental collision zones: evidence for slab melt metasomatism", *Contrib. Mineral. Petrol.*, 153: (2007) 105-120.
- [50] Thrope R.S. (ed): Andesites: Orogenic andesites and related rocks. John Wiley and Sons. 1982.
- crust", Journal of Asian Earth Sciences* 27,(2006) 230–240.
- [47] Rapp R.P., Shimizu N., Norman M.D., Applegate G.S., "Reaction between slabderived melts and peridotite in the mantle wedge: experimental constraints at 3.8 GPa", *Chemical Geology* 160, (2006) 335–356.
- [48] Denfant M.J., Drummond M.S., "Derivation of some modern arc magmas by melting of young subducted lithosphere", *Nature* 347, (1990) 662–665.
- [49] Drummond M.S., Defant M.J., "A model for trondhjemite-tonalite-dacite genesis and crystal growth via slab melting: Archean to modern